

ไมโครอินเวอร์เตอร์
MICRO-INVERTER

โดย

นายคณินันท์ พงษ์ทองทิม
นายวัชรินทร์ งามตะเภา

ปริญญาโท เป็นส่วนหนึ่งของการศึกษาตามหลักสูตรปริญญาวิศวกรรมศาสตรบัณฑิต
ภาควิชาวิศวกรรมไฟฟ้า คณะวิศวกรรมศาสตร์
สถาบันเทคโนโลยีพระจอมเกล้าเจ้าคุณทหารลาดกระบัง
ปีการศึกษา 2557

ไมโครอินเวอร์เตอร์
MICRO-INVERTER

โดย

นายคุณนธิ พงษ์ทองหล่อ
นายวัชรินทร์ ช่างพะเนา

ปริญญานิพนธ์นี้เป็นส่วนหนึ่งของการศึกษาตามหลักสูตรวิศวกรรมศาสตรบัณฑิต
ภาควิชาวิศวกรรมไฟฟ้า คณะวิศวกรรมศาสตร์
สถาบันเทคโนโลยีพระจอมเกล้าเจ้าคุณทหารลาดกระบัง
ปีการศึกษา 2557

MICRO-INVERTER

KUNNITI PONGTONGLOR
WATCHARIN CHANGPANAO

THIS PROJECT SUBMITTED IN PARTIAL FULFILLMENT OF THE REQUIREMENT
FOR THE BACHELOR DEGREE IN ELECTRICAL ENGINEERING
DEPARTMENT OF ELECTRICAL ENGINEERING FACULTY OF ENGINEERING
KING MONGKUT'S INSTITUTE OF TECHNOLOGY LADKRABANG
2014

ปีการศึกษา 2557

ไมโครอินเวอร์เตอร์
MICRO-INVERTER

โดย

นาย คุณนธิ พงษ์ทองหล่อ
นาย วัชรินทร์ ช่างพะเนา

อาจารย์ที่ปรึกษา

ดร.สมภพ ผลไม้

ปริญญาโทปีการศึกษา 2557

ภาควิชาวิศวกรรมไฟฟ้า

คณะวิศวกรรมศาสตร์ สถาบันเทคโนโลยีพระจอมเกล้าเจ้าคุณทหารลาดกระบัง

เรื่อง ไมโครอินเวอร์เตอร์

ผู้จัดทำ

1. นาย คุณนิติ พงษ์ทองหล่อ
2. นาย วัชรินทร์ ช่างพะเนา



.....อาจารย์ที่ปรึกษา
(ดร.สมภาพ ผลไม้)

ไมโครอินเวอร์เตอร์

นาย คุณนิธิ พงษ์ทองหล่อ

นาย วิชรินทร์ ช่างพะเนา

ดร. สมภพ ผลไม้ อาจารย์ที่ปรึกษา

ปีการศึกษา 2557

บทคัดย่อ

โครงการนี้เป็น การนำเสนองานวิเคราะห์ ออกแบบ และสร้างเครื่องต้นแบบไมโครอินเวอร์เตอร์ สำหรับระบบผลิตไฟฟ้าด้วยแสงอาทิตย์ โดยใช้แผงเซลล์แสงอาทิตย์พิกัดกำลัง 120 วัตต์ เป็นต้นกำเนิดพลังงาน เชื่อมต่อกันในลักษณะเซลล์แสงอาทิตย์หนึ่งแผงร่วมกับไมโครอินเวอร์เตอร์หนึ่งชุด ชุดไมโครอินเวอร์เตอร์นี้ประกอบไปด้วยวงจรแปรผันไฟตรงซึ่งเลือกใช้วงจรพุ่มลคอนเวอร์เตอร์ ซึ่งเปรียบเสมือนการนำฟอว์เว็ดคอนเวอร์เตอร์สองชุดมาทำงานร่วมกันโดยผลัดกันทำงานในแต่ละครึ่งคาบเวลาในลักษณะกลับเฟส ทำให้จ่ายกำลังได้สูง และใช้เทคนิคเฟสคอนโทรลดีซีทูเอซีคอนเวอร์เตอร์ ในการในการแปลงไฟฟ้ากระแสตรงเป็นไฟฟ้ากระแสสลับความถี่ 50 เฮิร์ต โดยมีหน่วยประมวลผลซึ่งใช้ตัวประมวลผลสัญญาณดิจิทัล (DSP) รุ่น TMS320F28335 ในการควบคุมการทำงาน ของชุดไมโครอินเวอร์เตอร์ ซึ่งได้ทำการสร้างเครื่องต้นแบบไมโครอินเวอร์เตอร์และทำการทดสอบจริงซึ่งผลการทำงานของเครื่องต้นแบบไมโครอินเวอร์เตอร์สามารถจ่ายโหลดได้ทั้งโหลดตัวต้านทาน ตัวเหนี่ยวนำ และตัวเก็บประจุ ตามที่ออกแบบไว้และสามารถนำไปพัฒนาต่อเพื่อให้ชุดไมโครอินเวอร์เตอร์สามารถเชื่อมต่อเข้ากับระบบไฟฟ้าได้

MICRO-INVERTER

Mr.Kunniti Pongtonglor
Mr.Watcharin Changpanao
Dr.Sompob Polmai Advisor

ABSTRACT

This thesis present analysis, design and construction of a prototype micro inverter for 120 watts photovoltaic module. Micro inverter has two power conversion stage. One is Push-Pull converter with 50 kHz switching frequency. The advantages of this technique are high power. The other is Phase-controlled DC-AC converter with high-frequency switching that switch consist of mosfet and diode. Each pair of switch was alternately operated with 50 KHz. The advantages of this technique are simple and high efficiency and power can flow bidirectional through this converter. Digital signal processor (DSP) TMS380F28335 is used for control the operation of the micro inverter. Finally a micro-inverter able to supply R L C load as designed and will be develop to connect to the system in the future.

กิตติกรรมประกาศ

ปริญญานิพนธ์ฉบับนี้สำเร็จลุล่วงไปได้ด้วยดีผู้จัดทำต้องขอขอบพระคุณ ดร.สมภพ ผลไม้ อาจารย์ที่ปรึกษาที่ได้กรุณาให้ข้อเสนอแนะและข้อคิดเห็นต่างๆ ที่เป็นประโยชน์ต่อโครงการมาด้วยดี และได้กรุณาตรวจแก้ไขปริญญานิพนธ์จนสำเร็จเรียบร้อยเป็นอย่างดี ตลอดจนท่านอาจารย์ทุกท่านในสาขาวิชาวิศวกรรมไฟฟ้าที่ประสิทธิ์ประสาทวิชาความรู้ต่างๆให้กับผู้จัดทำโครงการ

ขอขอบคุณคุณเพื่อนๆที่ร่วมห้องปฏิบัติการ PEARL โดยเฉพาะพี่ศรายุทธ จิตประสงค์และพี่โทนี่ ที่คอยช่วยเหลือและให้คำแนะนำมาโดยตลอดในการทำโครงการ

ขอขอบคุณศูนย์นวัตกรรมระบบพลังงานที่ให้ความอนุเคราะห์เครื่องมือในการทำโครงการครั้งนี้

นอกจากนั้นผู้จัดทำต้องขอขอบคุณ คุณนครศักดิ์ เจ้าหน้าที่ห้องปฏิบัติการที่ให้เบิกใช้เครื่องมือ ตลอดจนคุณปณยวีร์ ฉายศิริ ที่คอยให้คำแนะนำต่างๆในการทำโครงการ

สุดท้ายนี้คณะผู้จัดทำ ขอกราบขอบพระคุณ บิดามารดา และครอบครัวซึ่งให้การสนับสนุนในด้านการเงินและให้กำลังใจอีกทั้งเพื่อนๆ พี่ๆ น้องๆ ที่ให้ความช่วยเหลือในด้านการจัดหาอุปกรณ์ต่างๆ ในการทำโครงการครั้งนี้จนสำเร็จได้ด้วยดี จึงขอขอบคุณไว้ ณ ที่นี้ด้วย

คณะผู้จัดทำ

สารบัญ

	หน้า
บทคัดย่อ	I
ABSTRACT	II
กิตติกรรมประกาศ	III
สารบัญ	IV
สารบัญรูป	VIII
บทที่ 1 บทนำ	1
1.1 ความสำคัญและที่มาของปัญหาทำการวิจัย	2
1.2 วัตถุประสงค์ของงานวิจัย	4
1.3 ขอบเขตและข้อกำหนดของโครงการ	4
1.4 วิธีการและขั้นตอนการดำเนินโครงการ	5
บทที่ 2 ทฤษฎีและหลักการที่เกี่ยวข้อง	6
2.1 การผลิตไฟฟ้าจากแสงอาทิตย์โดยใช้เซลล์แสงอาทิตย์	6
2.2 เซลล์แสงอาทิตย์	6
2.2.1 คุณสมบัติทางไฟฟ้าของเซลล์แสงอาทิตย์	6
2.2.2 ประเภทของเซลล์แสงอาทิตย์	9
2.2.2.1 เซลล์แสงอาทิตย์ชนิดผลึกซิลิกอน (Crystalline Solar cell)	9
2.2.2.2 เซลล์แสงอาทิตย์ชนิดแผ่นบาง (Thin-Film Solar Cell)	10
2.2.2.3 เซลล์แสงอาทิตย์ชนิดแผ่นผลึกแกเลียมอาร์เซไนด์ (Gallium Arsenide Solar cell)	10
2.2.3 การติดตั้งแผงเซลล์แสงอาทิตย์	10
2.3 รูปแบบการเชื่อมต่อระบบไฟฟ้าจากแสงอาทิตย์	11
2.3.1 รูปแบบของอินเวอร์เตอร์สำหรับผลิตไฟฟ้าด้วยแสงอาทิตย์	12
2.4 Phase-Controlled DC-AC Converter with High-Frequency Switching	15
2.5 การวิเคราะห์โหมดการทำงานของวงจรแปลงผันไฟตรงเป็นไฟสลับโดยใช้การควบคุมเฟสของพัลส์ความถี่สูง	18
2.5.1 กรณี 1 Q_1 และ Q_3 นำกระแส (ช่วงเวลา t_1, t_2)	19
2.5.2 กรณี 2 Q_1 และ Q_4 นำกระแส (ช่วงเวลา t_2, t_3)	20
2.5.3 กรณี 3 Q_2 และ Q_4 นำกระแส (ช่วงเวลา t_3, t_4)	21
2.5.4 กรณี 4 Q_2 และ Q_3 นำกระแส (ช่วงเวลา t_4, t_5)	21

สารบัญ (ต่อ)

	หน้า
บทที่ 3 การออกแบบและสร้างโมเดลไมโครอินเวอร์เตอร์	23
3.1 การจำลองผลวงจรไมโครอินเวอร์เตอร์ โดยใช้โปรแกรม PowerSimulation (PSIM)	23
3.1.1 วิธีการคำนวณเพื่อหาค่าพารามิเตอร์ต่างๆ	23
3.1.1.1 ความต้านทาน	24
3.1.1.2 กระแสขาออก	24
3.1.1.3 อัตราส่วนจำนวนรอบ ของหม้อแปลงไฟฟ้า	24
3.1.1.4 การออกแบบตัวเหนี่ยวนำ	25
3.1.1.5 การเลือกตัวเก็บประจุ	25
3.2 โครงสร้างทางฮาร์ดแวร์	26
3.2.1 การเลือกพิกัดอุปกรณ์	26
3.2.1.1 มอสเฟต	26
3.2.1.2 ไดโอด	27
3.2.2 การพันหม้อแปลงเซนเตอร์แทป	27
3.2.3 วงจรขับมอสเฟส	29
3.2.4 วงจรตรวจวัดสัญญาณแรงดันระบบไฟฟ้า	30
3.2.5 วงจรตรวจวัดสัญญาณกระแสระบบไฟฟ้า	31
3.2.6 วงจรเรียงกระแสสำหรับวงจรตรวจวัดสัญญาณ	33
3.3 ตัวประมวลผลสัญญาณดิจิทัล (Digital Signal Processing, DSP)	34
บทที่ 4 ผลการทดลอง	35
4.1 ผลการทดสอบวงจรไมโครอินเวอร์เตอร์	35
4.1.1 สัญญาณชั้บเกิด	36
4.1.2 แรงดันที่ขั้วหม้อแปลง	37
4.1.3 แรงดันจุด A เปรียบเทียบกับสัญญาณสวิตช์ Q2,Q3	38
4.1.3.1 ช่วงการสวิตช์โดยที่ Duty มีค่าประมาณ 1	38
4.1.3.2 ช่วงการสวิตช์โดยที่ Duty มีค่าประมาณ 0.5	39
4.1.3.3 ช่วงการสวิตช์โดยที่ Duty มีค่าประมาณ 0	40
4.1.4 แรงดันเอาต์พุต	41
4.1.5 การทดลองจ่ายโหลด	42
บทที่ 5 สรุปผลการทดลอง	46
5.1 สรุปผลการทดลอง	46
เอกสารอ้างอิง	47
ภาคผนวก	48
ภาคผนวก ก	49

สารบัญ (ต่อ)

	หน้า
ภาคผนวก ข	54
ภาคผนวก ค	68
ประวัติผู้เขียน	71

สารบัญรูป

รูปที่	หน้า
รูปที่ 1.1 ระบบผลิตไฟฟ้าด้วยเซลล์แสงอาทิตย์	1
รูปที่ 1.2 อินเวอร์เตอร์หลักเพียงตัวเดียว	2
รูปที่ 1.3 อินเวอร์เตอร์ในแต่ละสาย	3
รูปที่ 1.4 ไมโครอินเวอร์เตอร์	4
รูปที่ 2.1 วงจรสมมูลทางอุดมคติของเซลล์แสงอาทิตย์	7
รูปที่ 2.2 วงจรสมมูลของเซลล์แสงอาทิตย์	7
รูปที่ 2.3 ความสัมพันธ์ระหว่างกระแสกับแรงดันของเซลล์แสงอาทิตย์	8
รูปที่ 2.4 ความสัมพันธ์ระหว่างกระแส กับแรงดันของเซลล์แสงอาทิตย์	9
รูปที่ 2.5 รูปแบบการเชื่อมต่อบริเวณผลิตไฟฟ้าจากแสงอาทิตย์	11
รูปที่ 2.6 ไมโครอินเวอร์เตอร์สำหรับต่อเข้ากับกริด	12
รูปที่ 2.7 อินเวอร์เตอร์แบบมีดีซี-ดีซีคอนเวอร์เตอร์และมีการแยกกราวด์.	12
รูปที่ 2.8 อินเวอร์เตอร์แบบมีดีซี-ดีซีคอนเวอร์เตอร์แต่ไม่มีการแยกกราวด์	13
รูปที่ 2.9 อินเวอร์เตอร์แบบไม่มีดีซี-ดีซีคอนเวอร์เตอร์แต่มีการแยกกราวด์	14
รูปที่ 2.10 อินเวอร์เตอร์แบบไม่มีดีซี-ดีซีคอนเวอร์เตอร์และไม่มีการแยกกราวด์	14
รูปที่ 2.11 วงจรพื้นฐานของวงจรแปลงผันไฟตรงเป็นไฟสลับโดยใช้การควบคุมเฟสของพัลส์	15
รูปที่ 2.12 รูปแบบการสวิตช์และแรงดันขาออก	16
รูปที่ 2.13 แสดงการทำงานทั้ง 4 โหมด	16
รูปที่ 2.14 วงจร Phase-Controlled DC-AC Converter	17
รูปที่ 2.15 วงจรพุก-พูล อินเวอร์เตอร์	18
รูปที่ 2.16 แสดงช่วงเวลาการทำงานของสวิตช์ Q_1 - Q_4	19
รูปที่ 3.1 วงจรไมโครอินเวอร์เตอร์ที่ใช้จำลองผลในโปรแกรม PSIM	23
รูปที่ 3.2 ค่ากระแสและแรงดันของมอสเฟตด้านโพรมารี่	26
รูปที่ 3.3 ค่ากระแสและแรงดันของมอสเฟตด้านเซคคันดารี	26
รูปที่ 3.4 แรงดันตกคร่อมและกระแสของไดโอด D1	27
รูปที่ 3.5 ชี้นงานจริงของหม้อแปลงเซ็นเตอร์แทป	29
รูปที่ 3.6 วงจรขับมอสเฟส	29
รูปที่ 3.7 ชี้นงานจริงของวงจรขับเคลื่อน	30
รูปที่ 3.8 การต่อใช้งานของ LEM LV 25-P	30
รูปที่ 3.9 วงจรตรวจวัดสัญญาณแรงดันระบบไฟฟ้า	31
รูปที่ 3.10 วงจรตรวจวัดสัญญาณแรงดันระบบไฟฟ้าที่สร้างขึ้น	31
รูปที่ 3.11 Current Tranduser CSNX25 (Honeywell)	32
รูปที่ 3.12 วงจรยกกระดบและขยายสัญญาณกระแส	32

สารบัญรูป (ต่อ)

รูปที่	หน้า
รูปที่ 3.13 วงจรตรวจวัดสัญญาณกระแสระบบไฟฟ้าที่สร้างขึ้น	32
รูปที่ 3.14 วงจรเรียงกระแสสำหรับวงจรตรวจวัดสัญญาณ	33
รูปที่ 3.15 วงจรเรียงกระแสสำหรับวงจรตรวจวัดสัญญาณที่สร้างขึ้น	33
รูปที่ 3.16 ตัวประมวลผลสัญญาณดิจิทัล (DSP)	34
รูปที่ 4.1 แสดงตำแหน่งการวัดของชุดไมโครอินเวอร์เตอร์	35
รูปที่ 4.2 สัญญาณซั้มมอสเฟส Q1,Q3,Q2,Q4 ตามลำดับ	36
รูปที่ 4.3 แรงดันที่ขั้วหม้อแปลง Vs1,Vs2	37
รูปที่ 4.4 แรงดันจุด A เปรียบเทียบกับสัญญาณสวิตช์ Q2,Q3 Duty การสวิตช์มีค่าประมาณ 1	38
รูปที่ 4.5 แรงดันจุด A เปรียบเทียบกับสัญญาณสวิตช์ Q2,Q3 Duty การสวิตช์มีค่าประมาณ 0.5	39
รูปที่ 4.6 แรงดันจุด A เปรียบเทียบกับสัญญาณสวิตช์ Q2,Q3 Duty การสวิตช์มีค่าประมาณ 0	40
รูปที่ 4.7 แรงดันเอาต์พุตจากชุดไมโครอินเวอร์เตอร์	41
รูปที่ 4.8 แรงดันและกระแสเข้าที่พุ่มขณะจ่ายโหลด	42
รูปที่ 4.9 แรงดันเข้าพุ่มและกระแสอินพุตขณะจ่ายโหลด 100 วัตต์	44
รูปที่ 4.10 ชุดไมโครอินเวอร์เตอร์ที่ได้สร้างขึ้นจริง	45

บทที่ 1

บทนำ

1.1 ความเป็นมาและความสำคัญของปัญหา

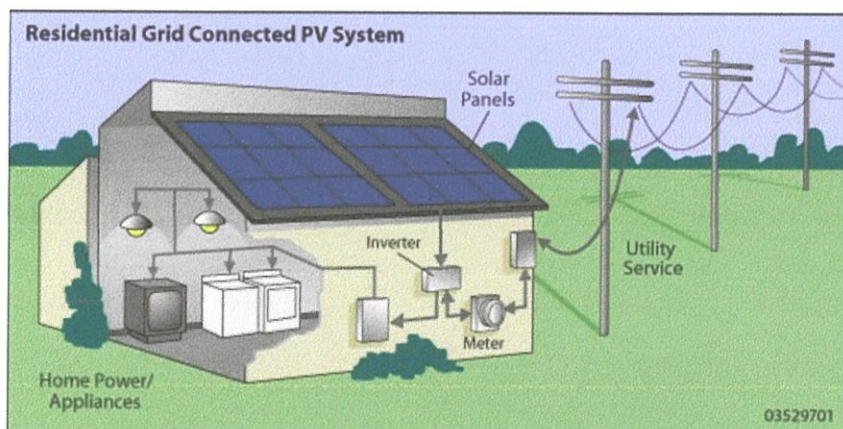
เป็นที่ทราบกันดีอยู่แล้วว่าปริมาณสำรองของพลังงานจากฟอสซิล (ก๊าซธรรมชาติ และถ่านหิน) บนโลกนี้กำลังจะหมดไปหากมนุษย์เราไม่สามารถค้นหาแหล่งพลังงานได้เพียงพอเพิ่มเติมได้อีกทำให้มนุษย์จึงเร่งหาพลังงานทดแทนชนิดอื่น ๆ มาเพื่อนำมาใช้แทนพลังงานจากฟอสซิลทำให้หลายประเทศทั่วโลกหันมาส่งเสริมการผลิตและการใช้พลังงานทดแทนซึ่งเป็นพลังงานสะอาดและใช้ไม่มีวันหมด

1.1.1 อุปกรณ์อิเล็กทรอนิกส์ในการเชื่อมต่อระบบไฟฟ้า

ระบบไฟฟ้าด้วยเซลล์แสงอาทิตย์อย่างง่ายประกอบด้วยเซลล์แสงอาทิตย์ ซึ่งอาจจะมีกำลังกำลังไฟฟ้าอยู่ในช่วง 10W – 300W ต่อแผง โดยที่มีการเชื่อมต่อกับระบบไฟฟ้าด้วยอุปกรณ์แปลงผันพลังงานจากไฟฟ้ากระแสตรงเป็นไฟฟ้ากระแสสลับ ซึ่งอาจจะมีแบตเตอรี่เป็นแหล่งสำรองพลังงานในกรณีที่เกิดเหตุขัดข้อง

อินเวอร์เตอร์สำหรับเชื่อมต่อกับระบบไฟฟ้า (Grid-Tie Inverter)

บ้านพักอาศัยทั่วไปอาจมีการผลิตไฟฟ้าจากเซลล์แสงอาทิตย์ในรูปแบบเชื่อมต่อกับระบบไฟฟ้าแสดงดังรูปที่ 1.1 ทางด้านเซลล์แสงอาทิตย์หรือทางด้านแรงดันไฟฟ้ากระแสตรง การติดตามกำลังไฟฟ้าสูงสุด (MPPT) จะช่วยหาจุดที่ให้กำลังไฟฟ้าที่เหมาะสมที่สุด ส่วนทางด้านระบบไฟฟ้าหรือทางด้านแรงดันไฟฟ้ากระแสสลับจะต้องมีรูปคลื่นไซน์ที่มีความถี่และมุมเฟสตรงกันกับระบบไฟฟ้า รวมทั้งแรงดันไฟฟ้าควรจะสูงกว่าระบบไฟฟ้าเล็กน้อย เพื่อให้ง่ายต่อการผลัดกันกระแสไฟฟ้าไปยังระบบไฟฟ้า



รูปที่ 1.1 ระบบผลิตไฟฟ้าด้วยเซลล์แสงอาทิตย์

ผลิตภัณฑ์ที่มีจำหน่ายในเชิงพาณิชย์

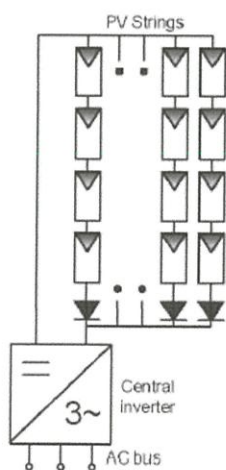
อินเวอร์เตอร์สำหรับเชื่อมต่อกับระบบไฟฟ้าที่มีจำหน่ายในท้องตลาดมีพิกัดกำลังไฟฟ้าตั้งแต่ 175W และอาจมากกว่า 10kW และมีการเชื่อมต่ออยู่ในรูปแบบหลายๆสตริง (String) โดยที่ใช้อินเวอร์เตอร์เพียงตัวเดียวในการแปลงผันกำลังไฟฟ้า ต่อมาวิธีการพัฒนาและวิธีการเชื่อมต่อและแปลงผันกำลังไฟฟ้าที่แตกต่างออกไปเรียกว่า ไมโครอินเวอร์เตอร์ เป็นการเชื่อมต่อในลักษณะรวมเซลล์แสงอาทิตย์หนึ่งแผงเข้ากับอินเวอร์เตอร์หนึ่งตัวเป็นหนึ่งโมดูล (module) และติดตั้งบนหลังคาบ้านได้ทันที ข้อเปรียบเทียบของอินเวอร์เตอร์ที่มีจำหน่ายในเชิงพาณิชย์แสดงดังตารางที่ 1.1

1.1.2 พัฒนาการของอินเวอร์เตอร์สำหรับระบบผลิตไฟฟ้าด้วยเซลล์แสงอาทิตย์

เนื่องจากเซลล์แสงอาทิตย์เพียงหนึ่งแผงมีกำลังไฟฟ้าไม่มากนัก จึงมีการรวบรวมกำลังไฟฟ้าจากเซลล์แสงอาทิตย์หลายแผงเข้าด้วยกัน ซึ่งมีการคิดค้นรูปแบบของการเชื่อมต่อเซลล์แสงอาทิตย์ในลักษณะต่างๆ โดยที่อาจแบ่งออกได้ 3 ประเภทดังนี้

1. อินเวอร์เตอร์หลักเพียงตัวเดียว (Centralized Inverter)

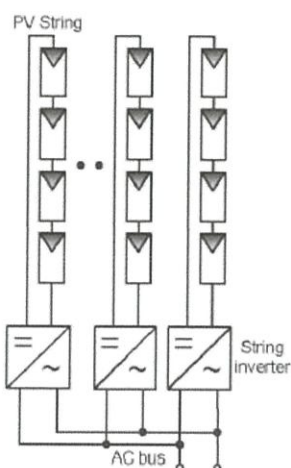
อินเวอร์เตอร์ในการแปลงผันกำลังไฟฟ้าและส่งจ่ายเข้าสู่ระบบไฟฟ้าจะมีเพียงตัวเดียว ดังรูปที่ 1.2 โดยที่เซลล์แสงอาทิตย์จะต่ออนุกรมกันเรียกว่าสตริงเพื่อเพิ่มแรงดันไฟฟ้าให้สูงขึ้น และหลายๆสตริงจะต่อขนานกันเพื่อเพิ่มกำลังไฟฟ้าให้สูงขึ้น ซึ่งข้อเสียของเทคโนโลยีนี้คือ ต้องใช้สายไฟเส้นใหญ่ มีความสูญเสียและมีข้อจำกัดในการติดตามกำลังไฟฟ้าสูงสุด ส่งผลให้ประสิทธิภาพต่ำลงและมีความน่าเชื่อถือต่ำ ปัจจุบันมีการผลิตในเชิงอุตสาหกรรมน้อย และไม่นิยมมาใช้ในการผลิตไฟฟ้าจากเซลล์แสงอาทิตย์สมัยใหม่



รูปที่ 1.2 อินเวอร์เตอร์หลักเพียงตัวเดียว

2. อินเวอร์เตอร์ในแต่ละสาย (String Inverter)

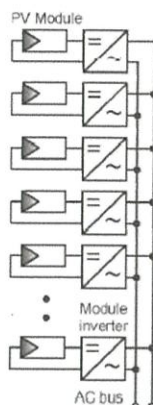
เทคโนโลยีแสดงในรูปที่ 1.3 ได้แก้ปัญหของการออกแบบในหัวข้อที่ผ่านมา เซลล์แสงอาทิตย์หนึ่งสตริงจะต่ออนุกรมกับอินเวอร์เตอร์หนึ่งตัว มีการติดตามกำลังไฟฟ้าสูงสุดในแต่ละสตริง และมีต้นทุนต่ำกว่าในการผลิตเชิงอุตสาหกรรม รูปแบบการเชื่อมต่อแบบนี้เป็นที่นิยมในการติดตั้งสมัยใหม่ อย่างไรก็ตามอาจมีปัญหาในเรื่องของการบังเงาบางส่วน ซึ่งการติดตามกำลังไฟฟ้าสูงสุดอาจมีประสิทธิภาพไม่ดีเท่าที่ควร



รูปที่ 1.3 อินเวอร์เตอร์ในแต่ละสาย

3. ไมโครอินเวอร์เตอร์ (Micro-Inverters)

ไมโครอินเวอร์เตอร์อาจจะเรียกว่าเอซีโมดูล (AC Module) ดังแสดงในรูปที่ 1.4 เป็นการรวมอินเวอร์เตอร์และแผงเซลล์แสงอาทิตย์เป็นอุปกรณ์ชิ้นเดียวกัน การควบคุมเป็นอิสระกันในแต่ละโมดูล เพราะฉะนั้นจึงหมดปัญหาในการติดตามกำลังไฟฟ้าสูงสุด เพราะมีการติดตามในแผงเซลล์แสงอาทิตย์ มีความเหมาะสมในการผลิตเชิงอุตสาหกรรม เนื่องจากต้นทุนในการผลิตต่ำ และราคาผลิตต่อหน่วยต่ำ เทคโนโลยีนี้เหมาะสมสำหรับอินเวอร์เตอร์ที่มีกำลังผลิตไฟฟ้าต่ำและมักมีปัญหาในเรื่องการบังเงาบางส่วน ทั้งนี้หากมีการติดตั้งจำนวนมาก ต้นทุนในการบำรุงรักษาอาจจะสูงขึ้น เนื่องจากมีอินเวอร์เตอร์จำนวนมาก และหากอินเวอร์เตอร์ตัวใดทำงานผิดพลาด การระบุตำแหน่งที่ชัดเจนและรวดเร็วจึงเป็นไปได้ยาก เพราะฉะนั้นจึงมีความจำเป็นที่จะต้องมีการตรวจสอบความล้มเหลวในการทำงานของไมโครอินเวอร์เตอร์ และส่งข้อมูลนั้นสู่ส่วนกลางตลอดเวลา อย่างไรก็ตามอินเวอร์เตอร์แบบนี้กำลังเป็นที่นิยมและจะครองส่วนแบ่งตลาดสูงขึ้นในอนาคต



รูปที่ 1.4 ไมโครอินเวอร์เตอร์

1.2 วัตถุประสงค์ของงานวิจัย

1. ศึกษาระบบ Micro – Inverter ที่มีการจำหน่ายในปัจจุบัน
2. เสนอแนวความคิดการใช้เทคนิค Phase-Controlled with High-Frequency ในการออกแบบ Micro-Inverter
3. ออกแบบสร้าง Micro – Inverter สำหรับแผงโซลาร์เซลล์ พิกัดไม่เกิน 300 วัตต์ โดยใช้เทคนิคตามข้อ 2
4. ส่งเสริมการใช้พลังงานหมุนเวียนเพื่อการผลิตพลังงานไฟฟ้า

1.3 ขอบเขตและข้อกำหนดของโครงการ

ขอบเขตของโครงการ เป็นการศึกษาการทำงานของไมโครอินเวอร์เตอร์ขนาดพิกัดไม่เกิน 300 วัตต์ โดยใช้หลักการออกแบบของ วงจร Push-Pull Inverter โดยในการออกแบบหม้อแปลงความถี่สูงได้มีการศึกษาหลักการพื้นฐานการออกแบบหม้อแปลงและตัวเหนี่ยวนำความถี่สูงโดยวิธีทั่วไป

1.4 วิธีการและขั้นตอนการดำเนินงานโครงการ

1. ศึกษาการผลิตไฟฟ้าจากเซลล์แสงอาทิตย์ในรูปแบบการเชื่อมต่อระบบไฟฟ้า
2. จำลองการทำงานของไมโครอินเวอร์เตอร์ด้วยโปรแกรม Psim
3. ออกแบบวงจรไมโครอินเวอร์เตอร์
4. ทดสอบและเก็บผลการทดลอง
5. สรุปผลทำวิจัย

บทที่ 2 ทฤษฎีที่เกี่ยวข้อง

2.1 การผลิตไฟฟ้าจากแสงอาทิตย์โดยใช้เซลล์แสงอาทิตย์

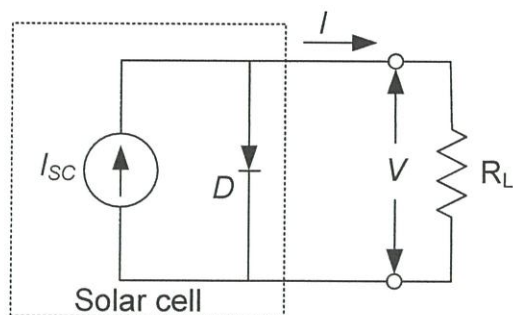
ปัจจุบันพลังงานจากแสงอาทิตย์นับว่าเป็นพลังงานหมุนเวียนอีกทางเลือกหนึ่ง ที่จะมาทดแทนพลังงานจากปิโตรเลียม เนื่องจากราคาของปิโตรเลียมพุ่งสูงขึ้นและส่งผลกระทบต่อสิ่งแวดล้อมค่อนข้างมาก อย่างไรก็ตามการผลิตไฟฟ้าจากแสงอาทิตย์ยังคงมีอุปสรรคในด้านต้นทุนค่อนข้างสูง เมื่อเทียบกับพลังงานอื่นที่ใช้ในปัจจุบัน ซึ่งต้นทุนของเซลล์แสงอาทิตย์ขึ้นอยู่กับความก้าวหน้าทางด้านเทคโนโลยี วัสดุติบ รวมถึงความคุ้มค่าทางเศรษฐศาสตร์ เช่น ค่าแรง ขนาดของตลาด เป็นต้น เซลล์แสงอาทิตย์ที่ใช้สารกึ่งตัวนำแบบผลึกซิลิกอน (Silicon crystal) มีใช้งานในเชิงพาณิชย์มากกว่า 80% ของตลาด เนื่องจากมีประสิทธิภาพสูงและราคายังคงสูงเช่นกัน ส่วนประเภทฟิล์มบางแบบอะมอร์ฟัส (Amorphous silicon thin film) มีส่วนแบ่งทางการตลาดประมาณ 11% เนื่องจากมีประสิทธิภาพต่ำกว่าและราคาต่ำกว่าเช่นกัน ทั้งนี้ได้มีการพัฒนาฟิล์มบางให้มีประสิทธิภาพและความคงทนมากขึ้น อาทิเช่น Copper Indium Gallium Cadmium เป็นต้น สำหรับเทคโนโลยีที่กำลังพัฒนาและมีแนวโน้มใช้งานในเชิงพาณิชย์ในระยะกลางคือ Micro Crystalline ส่วนระยะยาวอาจจะเป็น Dye Sensitized Cell ซึ่งทั้งสองชนิดจะมีราคาถูกลงมาก แต่ยังคงมีประสิทธิภาพต่ำในปัจจุบัน

2.2 เซลล์แสงอาทิตย์

เซลล์แสงอาทิตย์เป็นสิ่งประดิษฐ์สารกึ่งตัวนำที่ใช้สำหรับเปลี่ยนพลังงานแสงอาทิตย์ให้เป็นไฟฟ้าได้โดยตรงซึ่งเรียกปรากฏการณ์นี้ว่าปรากฏการณ์โฟโตโวลเทอิก (Photovoltaic phenomenon) การเปลี่ยนแปลงพลังงานด้วยวิธีนี้จะไม่มีส่วนเคลื่อนที่ใดๆ ทำให้มีข้อดีในเรื่องความสะดวกต่อการนำไปใช้งาน มีการบำรุงรักษาที่ง่าย และอายุการใช้งานยาวนาน การนำเซลล์แสงอาทิตย์มาใช้ในการผลิตไฟฟ้ายังมีอุปสรรคในเรื่องราคาเมื่อเทียบกับกำลังไฟฟ้าที่ได้รับ เนื่องจากประสิทธิภาพของเซลล์แสงอาทิตย์ที่มีค่าค่อนข้างต่ำประมาณ 8 -15 % เท่านั้น ดังนั้นการควบคุมให้แผงเซลล์แสงอาทิตย์ทำงานที่มีประสิทธิภาพสูงสุดอยู่ตลอดเวลาจึงเป็นสิ่งจำเป็น

2.2.1 คุณสมบัติทางไฟฟ้าของเซลล์แสงอาทิตย์

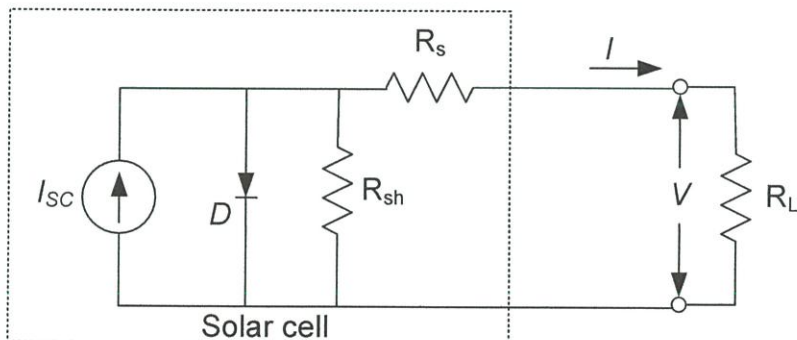
เซลล์แสงอาทิตย์ที่ผลิตขึ้นมาจากวัสดุกึ่งตัวนำเหมือนกับอุปกรณ์อิเล็กทรอนิกส์ทั่วไป โครงสร้างวัสดุสารกึ่งตัวนำของเซลล์แสงอาทิตย์มีลักษณะรอยต่อพี-เอ็น (p-n junction) เหมือนไดโอด ดังนั้นคุณลักษณะทางไฟฟ้าของเซลล์แสงอาทิตย์ทางอุดมคติจึงสามารถเขียนเป็นวงจรสมมูลประกอบด้วยแหล่งจ่ายกระแสขนานกับไดโอดดังรูปที่ 2.1 ซึ่งปริมาณกระแส I_{SC} นี้กำเนิดจากปรากฏการณ์โฟโตโวลเทอิกที่ความเข้มของแสงค่าหนึ่ง ซึ่งสามารถแทนได้ด้วยแหล่งจ่ายกระแสคงที่ ส่วนไดโอดจะแสดงถึงคุณลักษณะของสารกึ่งตัวนำที่เป็นรอยต่อพี-เอ็น ดังนั้นค่ากระแสจ่ายออกจึงสามารถอธิบายได้ด้วยความแตกต่างของกระแส I_{SC} ที่กำเนิดจากแสงอาทิตย์กับกระแสของไดโอด ดังแสดงในสมการที่ 2.1



รูปที่ 2.1 วงจรสมมูลทางอุดมคติของเซลล์แสงอาทิตย์

$$I = I_{sc} - I_0 \left[e^{\left(\frac{qV}{AkT} \right)} - 1 \right] \quad (2.1)$$

อย่างไรก็ตามเซลล์แสงอาทิตย์ยังมีค่าสูญเสียที่เกิดขึ้นจากความต้านทานภายในของเซลล์แสงอาทิตย์ดังในรูปที่ 2.2 มีทั้งความต้านทานที่ขนานและความต้านทานที่อนุกรมกับวงจรสมมูลของเซลล์แสงอาทิตย์ในอุดมคติ สมการคุณลักษณะของเซลล์แสงอาทิตย์สามารถอธิบายได้ดังสมการที่ 2.2

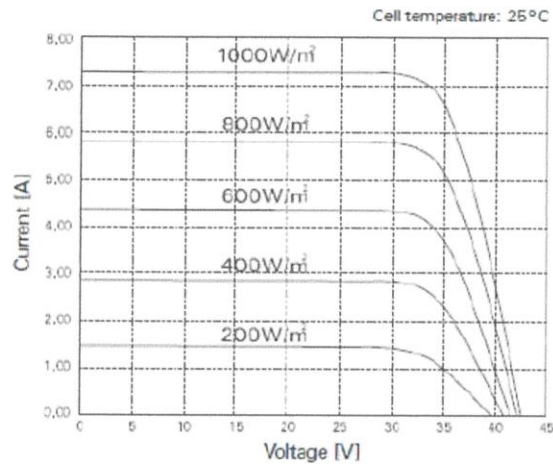


รูปที่ 2.2 วงจรสมมูลของเซลล์แสงอาทิตย์

$$I = I_{sc} - I_0 \left[e^{\left(\frac{qV}{AkT} \right)} - 1 \right] - \frac{(V + IR_s)}{R_{sh}} \quad (2.2)$$

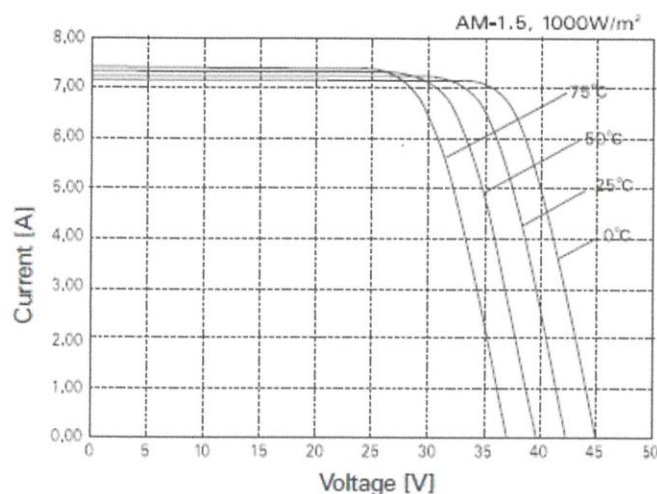
จากสมการที่ 2.2 อธิบายความสัมพันธ์ของกระแสและแรงดันจ่ายออกของเซลล์แสงอาทิตย์ได้ ในสถานะที่ไม่มีเซลล์แสงอาทิตย์จะมีคุณสมบัติเหมือนไดโอด เนื่องจากมีโครงสร้างของวัสดุสารกึ่งตัวนำเหมือนกัน แต่เมื่อให้แสงกับเซลล์แสงอาทิตย์ก็จะเกิดปรากฏการณ์โฟโตโวลเทอิกขึ้นทำให้เกิดแรงดันและกระแสไฟฟ้าออกมา เมื่อพิจารณาในสถานะเปิดวงจร กระแสจะไหลเข้าไดโอดทั้งหมดทำ

ให้กระแสจ่ายออกจะมีค่าเป็นศูนย์ ในทางกลับกันถ้าลัดวงจรกระแสจ่ายออกก็จะไหลออกสู่วงจรภายนอกทั้งหมด เมื่อเปลี่ยนค่าความเข้มของแสงจะเป็นผลให้ค่ากระแส I_{SC} มีค่าเปลี่ยนไปด้วยซึ่งแปรผันตรงกับค่าความเข้มของแสง ในขณะที่ค่าแรงดันจะมีการเปลี่ยนแปลงน้อยหรืออาจกล่าวได้ว่าเซลล์แสงอาทิตย์มีคุณสมบัติเป็นแหล่งจ่ายกระแส



รูปที่ 2.3 ความสัมพันธ์ระหว่างกระแสกับแรงดันของเซลล์แสงอาทิตย์ที่อุณหภูมิ 25 °C คงที่ เปลี่ยนแปลงระดับค่าความเข้มแสงที่ค่าต่างๆ

ความเข้มแสงเป็นปัจจัยสำคัญในการผลิตไฟฟ้าของเซลล์แสงอาทิตย์ ถ้าแสงมีความเข้มแสงต่ำจะทำให้เซลล์แสงอาทิตย์ผลิตไฟฟ้าได้ต่ำเช่นเดียวกัน ในทางตรงกันข้ามถ้ามีความเข้มแสงมากก็จะผลิตไฟฟ้าได้มากเช่นเดียวกัน ซึ่งสามารถอธิบายความสัมพันธ์ดังแสดงในรูปที่ 2.3 จากรูปเมื่อปริมาณความเข้มแสงเปลี่ยนไปค่ากระแสสูงสุดที่เซลล์แสงอาทิตย์ผลิตได้จะมีค่าเปลี่ยนตาม ในขณะที่แรงดันมีการเปลี่ยนแปลงที่น้อยมาก



รูปที่ 2.4 ความสัมพันธ์ระหว่างกระแส กับแรงดันของเซลล์แสงอาทิตย์ที่ความเข้มแสง 1000 W/m² คงที่ เปลี่ยนแปลงอุณหภูมิที่ระดับต่างๆ

รูปที่ 2.4 แสดงคุณสมบัติทางไฟฟ้าของเซลล์แสงอาทิตย์ที่มีผลต่ออุณหภูมิ ถ้าอุณหภูมิสูงขึ้นจะทำให้เซลล์แสงอาทิตย์ผลิตไฟฟ้าได้ลดลง จากรูปเมื่ออุณหภูมิสูงขึ้นส่งผลให้แรงดันของเซลล์แสงอาทิตย์มีค่าลดลง ในขณะที่กระแสมีการเปลี่ยนแปลงน้อยมาก

2.2.2 ประเภทของเซลล์แสงอาทิตย์

วิวัฒนาการของเซลล์แสงอาทิตย์มีมาหลายทศวรรษแล้ว เซลล์แสงอาทิตย์ในช่วงแรกผลิตขึ้นจากซิลิเนียม ซึ่งมีประสิทธิภาพในการเปลี่ยนพลังงานประมาณ 1-2 % จึงทำให้การใช้งานเซลล์แสงอาทิตย์ไม่แพร่หลายมากนัก จนถึงในช่วง พ.ศ. 2493 ได้มีการผลิตซิลิกอนขึ้นได้สำเร็จเป็นครั้งแรกโดยกระบวนการ Czochraki ซึ่งเป็นจุดสำคัญต่อวิวัฒนาการของเซลล์แสงอาทิตย์ให้ถูกลง เพิ่มอายุการใช้งานและเพิ่มประสิทธิภาพในการเปลี่ยนพลังงานให้สูงขึ้นด้วย ในปัจจุบันเซลล์แสงอาทิตย์สามารถแบ่งได้ 3 ประเภท

2.2.2.1 เซลล์แสงอาทิตย์ชนิดผลึกซิลิกอน (Crystalline Solar cell)

เซลล์แสงอาทิตย์แบบผลึกที่ใช้ในปัจจุบันส่วนมากผลิตจากซิลิกอน เนื่องจากได้มีการพัฒนาทั้งด้านราคา อายุการใช้งาน และประสิทธิภาพในการเปลี่ยนพลังงานเรื่องมา ในช่วงแรกเซลล์แสงอาทิตย์แบบผลึกเดียวจะมีราคาประมาณ 1,000 บาทต่อวัตต์ ในช่วง พ.ศ. 2516 ลดลงเป็นประมาณ 125 บาทต่อวัตต์ ในปี พ.ศ. 2534 และได้มีการพัฒนาอายุการใช้งานให้เพิ่มขึ้นเกิน 30 ปี ในปัจจุบัน ในด้านประสิทธิภาพในการเปลี่ยนพลังงานของเซลล์แสงอาทิตย์ที่ทำจากซิลิกอน ถูกจำกัดด้วยคุณสมบัติทางไฟฟ้าของซิลิกอน คือมีค่าสูงสุดได้ประมาณ 29 % จากเหตุผลดังกล่าวจึงได้มีการคิดค้นพัฒนาในการใช้สารกึ่งตัวนำชนิดอื่น ๆ มาผลิตเซลล์แสงอาทิตย์แทนซิลิกอน เช่น แกลเลียมอาเซ

ไนต์ (GaAs) ซึ่งจะมีประสิทธิภาพในการเปลี่ยนพลังงานสูงกว่าซิลิกอน คือจะมีค่าประมาณ 31 % แต่
ยังถูกจำกัดโดยเหตุผลทางด้านเศรษฐศาสตร์ เนื่องจากราคาของสารตั้งกล่าวแล้วยังแพงกว่าซิลิกอน

2.2.2.2 เซลล์แสงอาทิตย์ชนิดแผ่นบาง (Thin-Film Solar Cell)

เป็นเซลล์แสงอาทิตย์ที่ผลิตขึ้นมาเพื่อลดราคาให้ถูกลงกว่าแบบแรก เนื่องจาก
กระบวนการผลิตใช้ปริมาณสารกึ่งตัวนำน้อยกว่าแบบแรก โดยปกติใช้อะมอर्फัสซิลิกอน (a-si) จำนวน
เล็กน้อยฉาบลงบนผิวของวัสดุชนิดอื่น แต่จะมีข้อเสียคือ ประสิทธิภาพในการเปลี่ยนพลังงานต่ำกว่า
แบบแรก มีประสิทธิภาพในการเปลี่ยนพลังงาน 12 % ในห้องปฏิบัติการ และมีประสิทธิภาพในการ
เปลี่ยนพลังงานในการใช้งานจริงภาคสนามประมาณ 8 % มีประสิทธิภาพในการเปลี่ยนพลังงานสูงสุด
ของเซลล์แสงอาทิตย์แบบแผ่นบางที่ทำจากอะมอर्फัสซิลิกอนมีค่าสูงสุดได้ไม่เกิน 27 % เนื่องจากถูก
จำกัดโดยคุณสมบัติทางไฟฟ้าของอะมอर्फัสซิลิกอน

2.2.2.3 เซลล์แสงอาทิตย์ชนิดแผ่นผลึกแกเลียมอาร์เซไนด์ (Gallium Arsenide Solar cell)

เป็นเซลล์แสงอาทิตย์ที่เกิดจากสารชั้น P บนฐานของซิลิกอนผลึกแกเลียมอาร์เซ
ไนด์ (GaAs) ชนิด N และสร้างชั้น P ชนิดแกเลียมอาร์เซไนด์ (GaAs) ลักษณะโครงสร้างจะคล้าย
ผลึกเดี่ยว เซลล์แสงอาทิตย์ชนิดนี้จะมีประสิทธิภาพในการแปลงพลังงานสูงกว่า 31 % สามารถใช้งาน
ในสภาวะอุณหภูมิสูงกว่า 200 องศาเซลเซียสนิยมใช้บนยานอวกาศและเป็นแหล่งจ่ายไฟให้กับ
ดาวเทียม แต่เซลล์แสงอาทิตย์ชนิดนี้มีราคาสูงมาก

2.2.3 การติดตั้งแผงเซลล์แสงอาทิตย์

ในการติดตั้งแผงเซลล์แสงอาทิตย์ควรติดตั้งให้มีความลาดเอียงเพียงพอเพื่อที่
ได้รับแสงมากที่สุดและอีกเหตุผลหนึ่ง เพื่อให้เกิดการระบายน้ำฝนได้อย่างรวดเร็วเพื่อใช้ในการชำระ
สิ่งสกปรกที่ติดค้างอยู่บนแผงได้อีกด้วย การเลือกมุมความลาดเอียงและทิศทางของแผงที่เหมาะสม
นั้นจะขึ้นอยู่กับตำแหน่งของสถานที่ สำหรับประเทศไทยค่าที่ดีที่สุดคือ 15 องศา โดยหันหน้าไปทาง
ทิศใต้ อีกวิธีหนึ่งที่ทำให้เซลล์แสงอาทิตย์ทำงานได้อย่างมีประสิทธิภาพสูงสุดคือ การปรับแผงให้เอียง
ตามการโคจรของดวงอาทิตย์ แต่วิธีนี้จะสิ้นเปลืองค่าใช้จ่ายมาก ดังนั้นในทางปฏิบัติจริงจึงติดตั้งแผง
เซลล์ให้มีความลาดเอียงที่ค่าใดค่าหนึ่งเท่านั้น

2.3 รูปแบบการเชื่อมต่อระบบผลิตไฟฟ้าจากแสงอาทิตย์

ระบบผลิตไฟฟ้าจากแสงอาทิตย์อาจแบ่งออกเป็น 3 ประเภท ดังนี้

2. อินเวอร์เตอร์หลักเพียงตัวเดียว (Centralized Inverter)

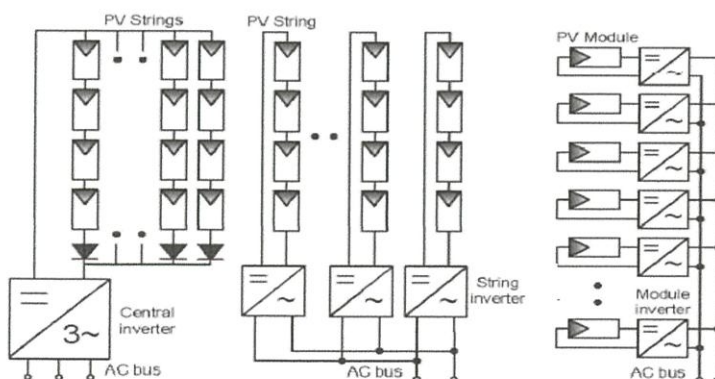
อินเวอร์เตอร์ในการแปลงผันกำลังไฟฟ้าและส่งจ่ายเข้าสู่ระบบไฟฟ้าจะมีเพียงตัวเดียว โดยที่เซลล์แสงอาทิตย์จะต่ออนุกรมกันเรียกว่าสตริงเพื่อเพิ่มแรงดันไฟฟ้าให้สูงขึ้น และหลายๆ สตริงจะต่อขนานกันเพื่อเพิ่มกำลังไฟฟ้าให้สูงขึ้น ซึ่งข้อเสียของเทคโนโลยีนี้คือ ต้องใช้สายไฟเส้นใหญ่ มีความสูญเสียและมีข้อจำกัดในการติดตามกำลังไฟฟ้าสูงสุด ส่งผลให้ประสิทธิภาพต่ำลงและมีความน่าเชื่อถือต่ำ ปัจจุบันมีการผลิตในเชิงอุตสาหกรรมน้อย และไม่นิยมมาใช้ในการผลิตไฟฟ้าจากเซลล์แสงอาทิตย์สมัยใหม่

3. อินเวอร์เตอร์ในแต่ละสาย (String Inverter)

เทคโนโลยีนี้ ได้แก้ปัญหของการออกแบบในหัวข้อที่ผ่านมา เซลล์แสงอาทิตย์หนึ่ง สตริงจะต่ออนุกรมกับอินเวอร์เตอร์หนึ่งตัว มีการติดตามกำลังไฟฟ้าสูงสุดในแต่ละสตริง และมีต้นทุนต่ำกว่าในการผลิตเชิงอุตสาหกรรม รูปแบบการเชื่อมต่อแบบนี้เป็นที่นิยมในการติดตั้งสมัยใหม่ อย่างไรก็ตามอาจมีปัญหาในเรื่องของการบังเงาบางส่วน ซึ่งการติดตามกำลังไฟฟ้าสูงสุดอาจมีประสิทธิภาพไม่ดีเท่าที่ควร

4. ไมโครอินเวอร์เตอร์ (Micro-Inverters)

ไมโครอินเวอร์เตอร์อาจจะเรียกว่าเอซีโมดูล (AC Module) หรือ PV Module เป็นการรวมอินเวอร์เตอร์และแผงเซลล์แสงอาทิตย์เป็นอุปกรณ์ชิ้นเดียวกัน การควบคุมเป็นอิสระกันในแต่ละโมดูล เพราะฉะนั้นจึงหมดปัญหาในการติดตามกำลังไฟฟ้าสูงสุด เพราะมีการติดตามในแผงเซลล์แสงอาทิตย์ มีความเหมาะสมในการผลิตเชิงอุตสาหกรรม เนื่องจากต้นทุนในการผลิตต่ำ และราคาผลิตต่อหน่วยต่ำ เทคโนโลยีนี้เหมาะสมสำหรับอินเวอร์เตอร์ที่มีกำลังผลิตไฟฟ้าต่ำและมักมีปัญหาในเรื่องการบังเงาบางส่วน ทั้งนี้หากมีการติดตั้งจำนวนมาก ต้นทุนในการบำรุงรักษาอาจจะสูงขึ้น เนื่องจากมีอินเวอร์เตอร์จำนวนมาก และหากอินเวอร์เตอร์ตัวใดทำงานผิดพลาด การระบุตำแหน่งที่ชัดเจนและรวดเร็วจึงเป็นไปได้ยาก เพราะฉะนั้นจึงมีความจำเป็นที่จะต้องมียระบบตรวจจับความล้มเหลวในการทำงานของไมโครอินเวอร์เตอร์ และส่งข้อมูลนั้นสู่ส่วนกลางตลอดเวลา อย่างไรก็ตามอินเวอร์เตอร์แบบนี้กำลังเป็นที่นิยมและจะครองส่วนแบ่งตลาดสูงขึ้นในอนาคต



รูปที่ 2.5 รูปแบบการเชื่อมต่อระบบผลิตไฟฟ้าจากแสงอาทิตย์

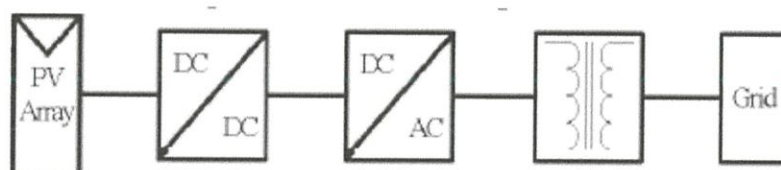
ปัจจุบันมีหลายบริษัทได้ผลิตและจำหน่ายไมโครอินเวอร์เตอร์สำหรับระบบผลิตไฟฟ้าจากแสงอาทิตย์ในเชิงพาณิชย์แล้ว ตัวอย่างของไมโครอินเวอร์เตอร์แสดงดังรูปที่ 2.6



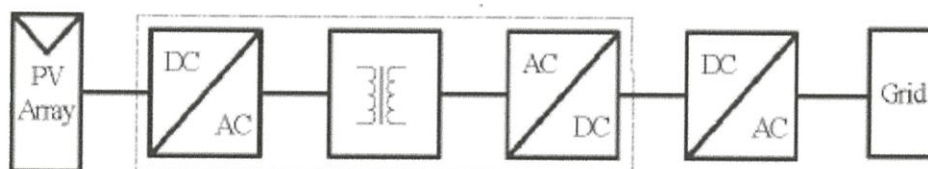
รูปที่ 2.6 ไมโครอินเวอร์เตอร์สำหรับต่อเข้ากับกริด

2.3.1 รูปแบบของอินเวอร์เตอร์สำหรับระบบผลิตไฟฟ้าด้วยแสงอาทิตย์

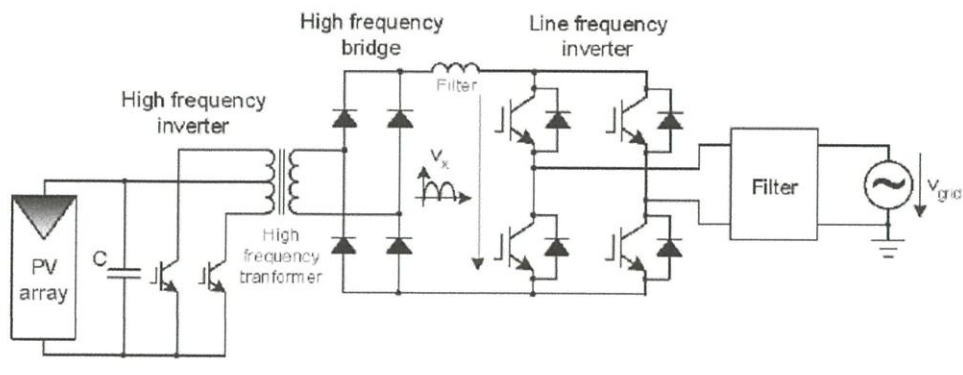
อินเวอร์เตอร์สำหรับระบบผลิตไฟฟ้าด้วยแสงอาทิตย์ อาจแบ่งตามลักษณะการแปลงผันพลังงานได้ 4 รูปแบบ ดังนี้



(ก)



(ข)



รูปที่ 2.7 อินเวอร์เตอร์แบบมีดีซี-ดีซีคอนเวอร์เตอร์และมีการแยกกราวด์

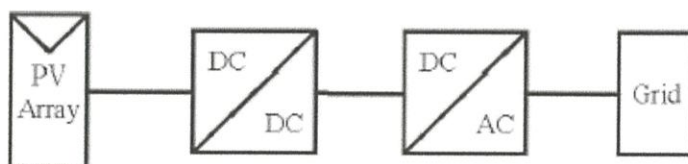
1. อินเวอร์เตอร์แบบมีดีซี-ดีซีและมีการแยกกราวด์

การแยกกราวด์ทางไฟฟ้าสามารถทำได้โดยใช้หม้อแปลง ซึ่งสามารถวางได้ทั้งทางด้านความถี่ต่ำ ดังรูปที่ 2.7(ก) หรือวางทางด้านความถี่สูง ดังรูปที่ 2.7(ข) หม้อแปลงความถี่สูงจะมีขนาดเล็กและมีน้ำหนักเบา แต่ต้องมีการออกแบบอย่างเหมาะสมเพื่อให้มีกำลังไฟฟ้าสูญเสียต่ำ

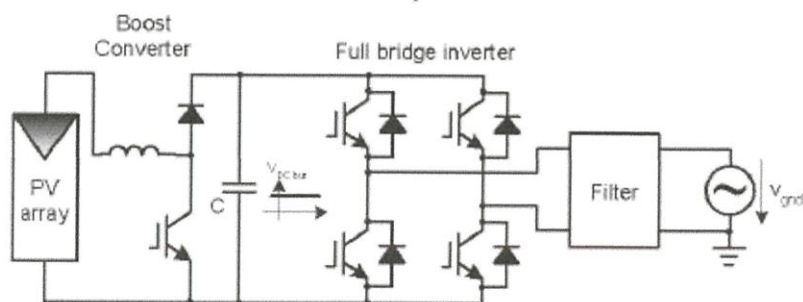
จากรูปที่ 2.7(ค) แสดงอินเวอร์เตอร์ที่ใช้หม้อแปลงความถี่สูงเพื่อแยกกราวด์ในวงจรบูสคอนเวอร์เตอร์ (Boost converter)

2. อินเวอร์เตอร์แบบมีดีซี-ดีซีคอนเวอร์เตอร์แต่ไม่มีการแยกกราวด์

ในบางประเทศไม่มีการแยกกราวด์กับระบบไฟฟ้า เพราะฉะนั้นอินเวอร์เตอร์ในรูปแบบนี้อาจแสดงได้ดังรูปที่ 2.8(ก) สำหรับตัวอย่างการใช้งานแสดงได้ดังรูปที่ 2.8(ข) ซึ่งเป็นวงจรบูสคอนเวอร์เตอร์ (Boost converter)



(ก)

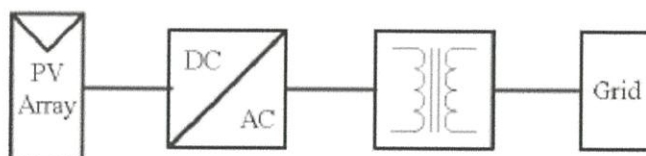


(ข)

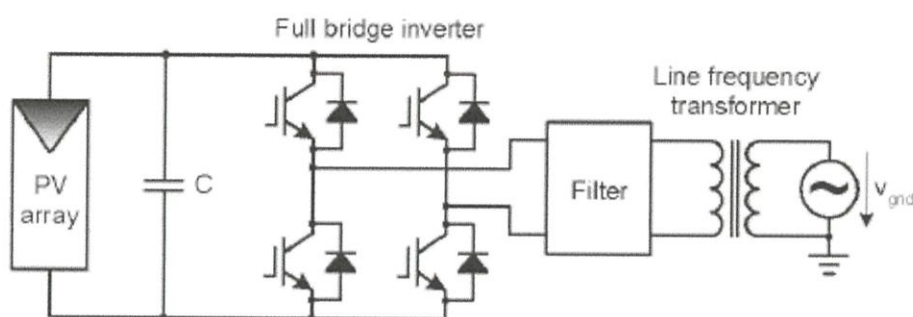
รูปที่ 2.8 อินเวอร์เตอร์แบบมีดีซี-ดีซีคอนเวอร์เตอร์แต่ไม่มีการแยกกราวด์

3. อินเวอร์เตอร์แบบไม่มีดีซี-ดีซีคอนเวอร์เตอร์แต่มีการแยกกราวด์

จากรูปที่ 2.9(ก) แสดงการใช้อินเวอร์เตอร์ต่อกับระบบไฟฟ้า ซึ่งต่อผ่านหม้อแปลง ความถี่ต่ำเพื่อแยกกราวด์ สำหรับตัวอย่างการใช้งานแสดงได้ดังรูปที่ 2.9(ข) ซึ่งเป็นวงจรฟูลบริด อินเวอร์เตอร์ (Full bridge inverter)



(ก)

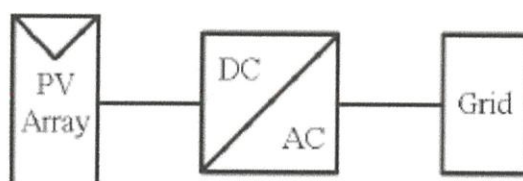


(ข)

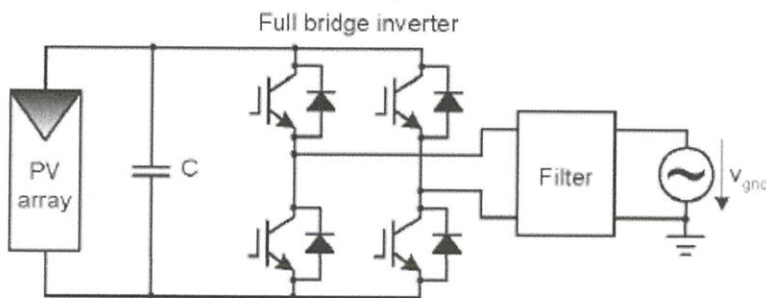
รูปที่ 2.9 อินเวอร์เตอร์แบบไม่มีดีซี-ดีซีคอนเวอร์เตอร์แต่มีการแยกกราวด์

4. อินเวอร์เตอร์แบบไม่มีดีซี-ดีซีคอนเวอร์เตอร์และไม่มีการแยกกราวด์

ระบบนี้แสดงดังรูปที่ 2.10(ก) และจากรูปที่ 2.10(ข) เป็นวงจรฟูลบริดอินเวอร์เตอร์ที่เหมาะสมกับระบบที่ใช้แผงเซลล์แสงอาทิตย์ต่ออนุกรมกันจำนวนมากและให้ค่าแรงดันสูงทุกช่วงเวลา



(ก)



(ข)

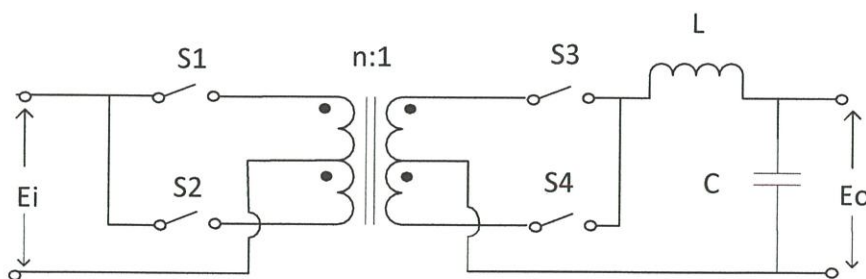
รูปที่ 2.10 อินเวอร์เตอร์แบบไม่มีดีซี-ดีซีคอนเวอร์เตอร์และไม่มีกราวด์แยก

2.4 Phase-Controlled DC-AC Converter with High-Frequency Switching

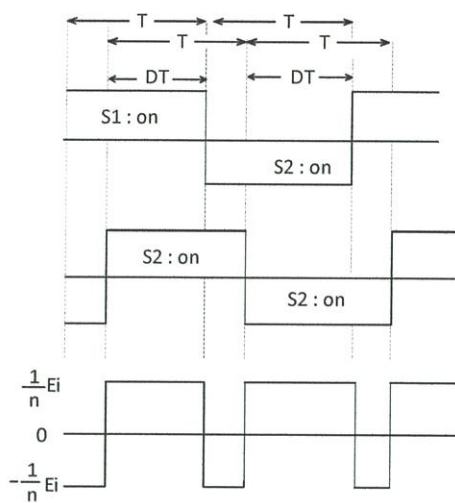
Phase-Controlled DC-AC Converter with High-Frequency Switching

เป็นวงจรที่มีสวิตช์คู่ทั้งในฝั่งปฐมภูมิและฝั่งทุติยภูมิของหม้อแปลงแยกโดด อัตราการเปลี่ยนแปลงแรงดันจะถูกควบคุมโดยความต่างเฟสของสวิตช์ทั้งสองคู่ กระแสและแรงดันกระชากในระหว่างการสับเปลี่ยนสวิตช์หรือการสวิตช์ซึ่งจะถูกลดลงโดยขดลวดที่ถูกแยกเป็นสองตัว สามารถลดขนาดของหม้อแปลงลงได้เป็นผลมาจากการที่เพิ่มความถี่ในการสวิตช์ซึ่งและวงจรนี้สามารถจ่ายโหลดรีแอคทีฟได้อีกด้วย วงจร Phase-Controlled DC-AC Converter นี้เหมาะสำหรับวงจร Uninterruptible power supply (UPS) และสามารถประยุกต์ใช้สำหรับวงจร Micro Inverter ได้อีกด้วย

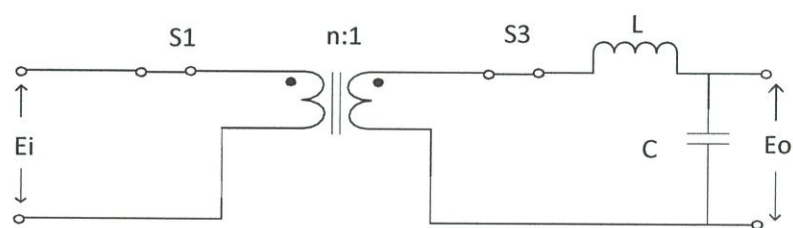
วงจรพื้นฐานของวงจร Phase-Controlled DC-AC Converter ได้แสดงในรูปที่ 2.11 สวิตช์ S_1 และ S_2 ในฝั่งปฐมภูมิของหม้อแปลงทำการเปิดและปิดสลับกันเข้าไปเข้ามาโดยมี Duty ratio ใกล้เคียง 50 เปอร์เซ็นต์ ดังแสดงในรูปที่ 2.12 สวิตช์ S_3 และ S_4 ในฝั่งทุติยภูมิทำการเปิดและปิดสลับกันเข้าไปเข้ามาและทำงานเช่นเดียวกันกับฝั่งปฐมภูมิ สวิตช์ในฝั่งปฐมภูมิและฝั่งทุติยภูมิจะทำงานโดยมีความต่างเฟสเท่ากับ DT เมื่อ D คือ เวลาที่ทำงานสอดคล้องกันของ Duty ratio ของวงจรคอนเวอร์เตอร์นี้



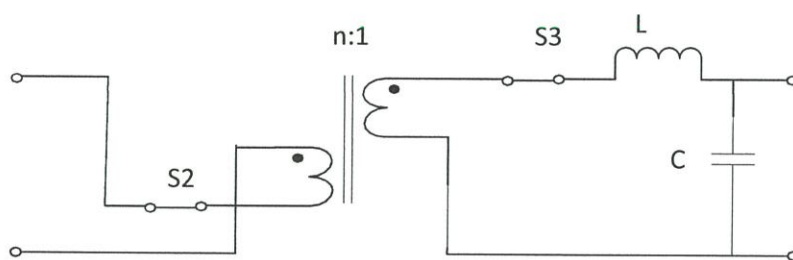
รูปที่ 2.11 วงจรพื้นฐานของวงจร วงจรแปลงผันไฟตรงเป็นไฟสลับโดยใช้การควบคุมเฟสของพัลส์ความถี่สูง



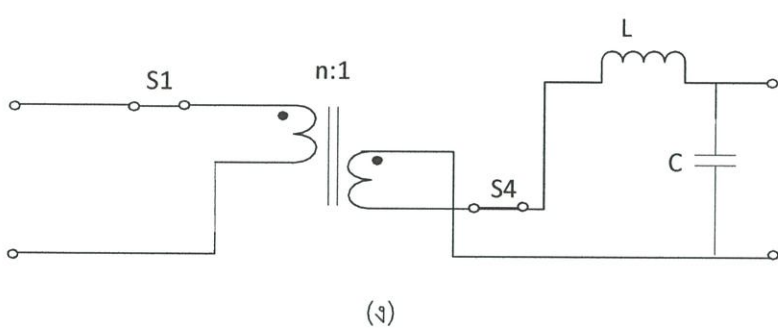
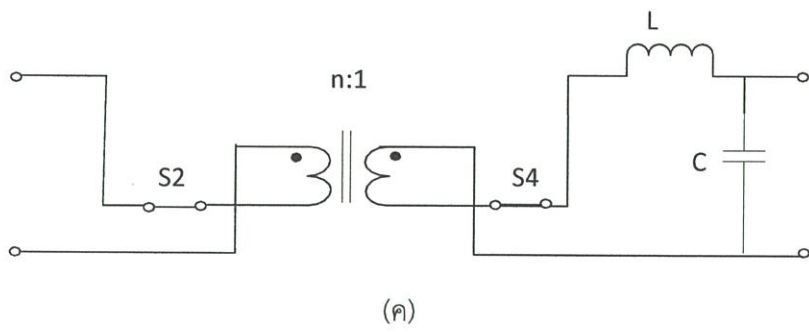
รูปที่ 2.12 รูปแบบการสวิตช์และแรงดันขาออก



(ก)

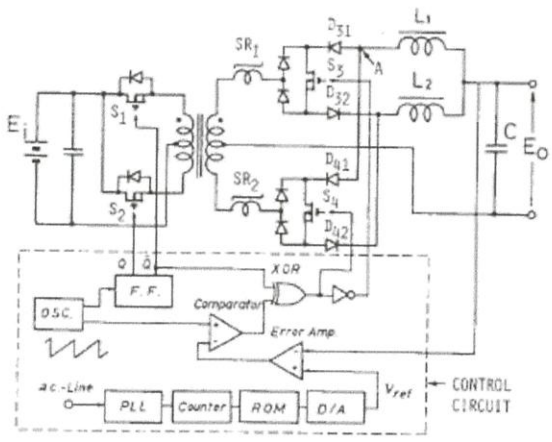


(ข)



รูปที่ 2.13 แสดงการทำงานทั้ง 4 โหมด

จากเงื่อนไขของสวิตช์ทั้ง 4 การทำงานของคอนเวอร์เตอร์จะถูกแบ่งออกเป็น 4 โหมดดังที่แสดงในรูปที่ 2.13 (ก)-(ง) โดยที่รูป(ก) $S_1 : on, S_3 : on, S_2 : off, S_4 : off$. (ข) $S_2 : on, S_3 : on, S_1 : off, S_4 : off$. (ค) $S_2 : on, S_4 : on, S_2 : off, S_3 : off$. (ง) $S_1 : on, S_4 : on, S_2 : off, S_3 : off$



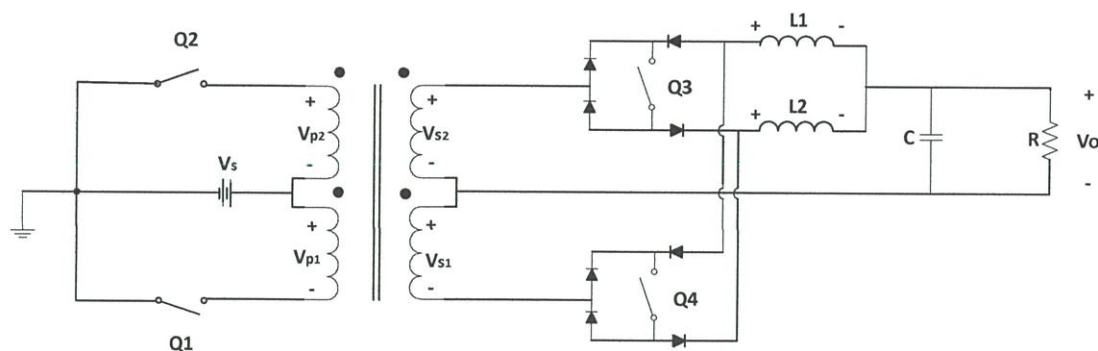
รูปที่ 2.14 วงจร Phase-Controlled DC-AC Converter with High-Frequency Switching

ในวงจรพื้นฐานของวงจร Phase-Controlled DC-AC Converter ที่แสดงในรูปที่ 2.15 นั้นสามารถเกิดกระแสกระชากหรือแรงดันกระชากสูงๆได้ในระหว่างการสับเปลี่ยนระหว่างสวิตช์ S_3 และ S_4 ในกรณีที่เกิดการคาบเกี่ยวหรือซ้อนกัน ฟังก์ชันของหม้อแปลงจะเกิดการลัดวงจรเนื่องจากสวิตช์ S_3 และ S_4 เกิดการลัดวงจร ในแง่ของวงจรจริง เป็นไปได้ยากหรือแทบเป็นไปไม่ได้เลยที่สวิตช์ S_3 และ S_4 จะทำงานโดยไม่เกิดการคาบเกี่ยวหรือซ้อนกันในระหว่างการสับเปลี่ยนสวิตช์

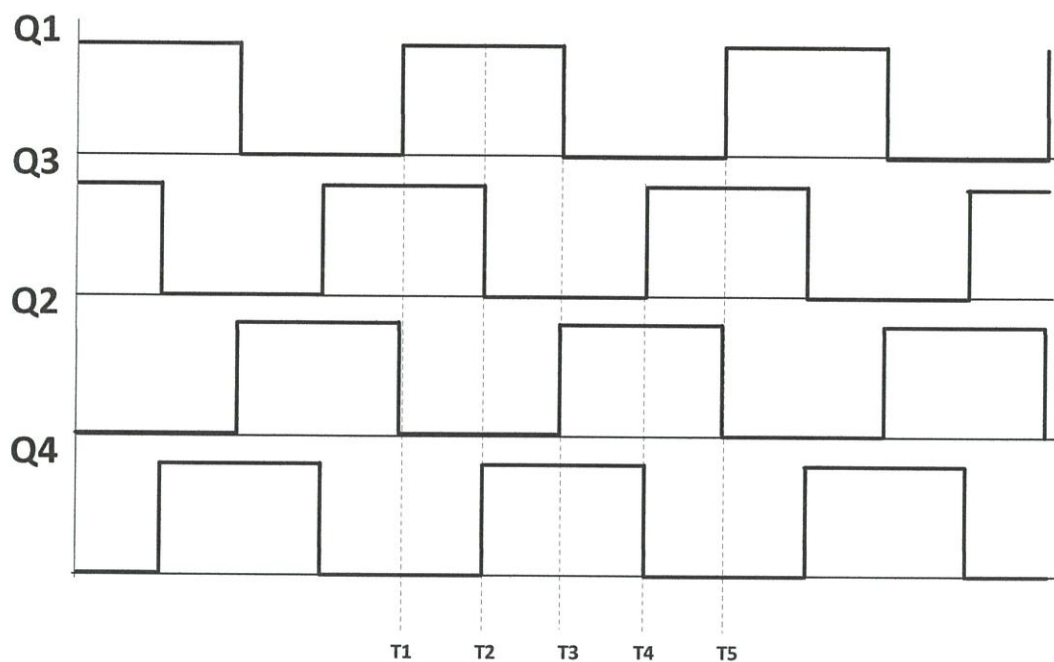
ปัญหานี้สามารถแก้ไขได้โดยการแยกขดลวดเป็นสองส่วนคือ L_1 และ L_2 ที่ได้แสดงในรูปที่ 2.15 ในวงจรนี้สวิตช์ S_3 และ S_4 จะถูกขับโดยมีการคาบเกี่ยวหรือซ้อนกันที่น้อยลง เพราะมีขดลวดช่วยลิมิตกระแส และยังสามารถสังเกตเห็นการสับเปลี่ยนระหว่างสวิตช์ S_3 และ S_4 ที่นุ่มนวลขึ้น

Phase-Controlled DC-AC Converter เป็นวงจรการแปลงผันไฟฟ้าที่ง่าย และมีประสิทธิภาพสูง และมีหม้อแปลงแยกโดดที่มีขนาดเล็กเป็นผลมาจากความถี่สวิตช์ซึ่งที่สูงและกำลังไฟฟ้าสามารถไหลได้ทั้งสองฝั่งผ่านวงจรคอนเวอร์เตอร์นี้ รวมถึงกระแสและแรงดันกระชากที่เกิดจากการสับเปลี่ยนระหว่างสวิตช์ S_3 และ S_4 จะถูกลดลงไปมากโดยขดลวด L_1 และ L_2 ที่แยกออกจากกัน

2.5 การวิเคราะห์โหมดการทำงานของวงจรแปลงผันไฟตรงเป็นไฟสลับโดยใช้การควบคุมเฟสของพัลส์ความถี่สูง



รูปที่ 2.15 วงจรพุก-พุก อินเวอร์เตอร์



รูปที่ 2.16 แสดงช่วงเวลาการทำงานของสวิตช์ Q₁-Q₄

2.5.1 กรณี 1 Q₁และ Q₃นำกระแส (ช่วงเวลา t₁, t₂)

$$V_{p1} = V_s = V_{p2} \quad (2.3)$$

$$V_{Q2} = 2V_s = 2V_{p1} \quad (2.4)$$

ส่งจ่ายไปยังขดลวดอื่นอีก

$$V_{s1} = V_{s2} = V_s \left(\frac{N_s}{N_p} \right) \quad (2.5)$$

เมื่อใช้หลักการ Kirchhoff's Voltage Law (KVL) จะได้ว่า

$$-V_{s2} + V_{L2} + V_o = 0 \quad (2.6)$$

$$V_{L2} = V_s \left(\frac{N_s}{N_p} \right) - V_o \quad (2.7)$$

จาก

$$V_{L2} = L_2 \frac{di_{L2}}{dt} \quad (2.8)$$

โดย dt ในที่นี้คือเวลา ช่วง t_1 กับ t_2

จะได้ว่า

$$L_2 \frac{d i_{L2}}{dt} = V_s \left(\frac{N_s}{N_p} \right) - V_o \quad (2.9)$$

$$\frac{d i_{L2}}{dt} = \frac{V_s \left(\frac{N_s}{N_p} \right) - V_o}{L_2} \quad (2.10)$$

$$\therefore \Delta i_{L2} = \frac{\left[V_s \left(\frac{N_s}{N_p} \right) - V_o \right]}{L_2} \cdot (T_2 - T_1) \quad (2.11)$$

2.5.2 กรณี 2 Q₁ และ Q₄ นำกระแส (ช่วงเวลา t₂, t₃)

$$V_{p1} = V_s = V_{p2} \quad (2.12)$$

และ

$$V_{Q2} = 2V_s = 2V_{P1} \quad (2.13)$$

ส่งจ่ายไปยังขดลวดอื่นอีก

$$V_{s1} = V_{s2} = V_s \left(\frac{N_s}{N_p} \right) \quad (2.14)$$

เมื่อใช้หลักการ Kirchhoff's Voltage Law (KVL) จะได้ว่า

$$-V_{s1} - V_o - V_{L1} = 0 \quad (2.15)$$

$$V_{L1} = -V_s \left(\frac{N_s}{N_p} \right) - V_o \quad (2.16)$$

จาก

$$V_{L1} = L_2 \frac{d i_{L1}}{dt} \quad (2.17)$$

โดย dt ในที่นี้คือเวลา ช่วง t₂ กับ t₃

จะได้ว่า

$$L_1 \frac{d i_{L1}}{dt} = V_s \left(\frac{N_s}{N_p} \right) - V_o \quad (2.18)$$

$$\frac{d i_{L1}}{dt} = \frac{V_s \left(\frac{N_s}{N_p} \right) - V_o}{L_1} \quad (2.19)$$

$$\therefore \Delta i_{L1} = \frac{\left[V_s \left(\frac{N_s}{N_p} \right) - V_o \right]}{L_1} \cdot (T_3 - T_2) \quad (2.20)$$

2.5.3 กรณี 3 Q_2 และ Q_4 นำกระแส (ช่วงเวลา t_3, t_4)

$$V_{p2} = -V_s = V_{p1} \quad (2.21)$$

และ
$$V_{Q1} = 2V_s \quad (2.22)$$

ส่งจ่ายไปยังขดลวดอื่นอีก

$$V_{s1} = V_{s2} = -V_s \left(\frac{N_s}{N_p} \right) \quad (2.23)$$

เมื่อใช้หลักการ Kirchhoff's Voltage Law (KVL) จะได้ว่า

$$V_{s1} + V_{L2} + V_o = 0 \quad (2.24)$$

$$-V_s \left(\frac{N_s}{N_p} \right) + V_{L2} - V_o = 0 \quad (2.25)$$

$$V_{L2} = -V_s \left(\frac{N_s}{N_p} \right) - V_o \quad (2.26)$$

จาก
$$V_{L2} = L_2 \frac{d i_{L2}}{dt} \quad (2.27)$$

โดย dt ในที่นี้คือเวลา ช่วง t_3 กับ t_4

จะได้ว่า
$$L_2 \frac{d i_{L2}}{dt} = V_s \left(\frac{N_s}{N_p} \right) - V_o \quad (2.28)$$

$$\frac{d i_{L2}}{dt} = \frac{V_s \left(\frac{N_s}{N_p} \right) - V_o}{L_2} \quad (2.29)$$

$$\therefore \Delta i_{L2} = \frac{\left[V_s \left(\frac{N_s}{N_p} \right) - V_o \right]}{L_2} \cdot (T_4 - T_3) \quad (2.30)$$

2.5.4 กรณี 4 Q_2 และ Q_3 นำกระแส (ช่วงเวลา t_4, t_5)

$$V_{p2} = -V_s = V_{p1} \quad (2.31)$$

และ
$$V_{Q1} = 2V_s \quad (2.32)$$

ส่งจ่ายไปยังขดลวดอื่นอีก

$$V_{s1} = V_{s2} = -V_s \left(\frac{N_s}{N_p} \right) \quad (2.33)$$

เมื่อใช้หลักการ Kirchhoff's Voltage Law (KVL) จะได้ว่า

$$V_{s2} - V_o - V_{L1} = 0 \quad (2.34)$$

$$-V_s \left(\frac{N_s}{N_p} \right) - V_o - V_{L1} = 0 \quad (2.35)$$

$$V_{L1} = - \left[V_s \left(\frac{N_s}{N_p} \right) + V_o \right] \quad (2.36)$$

จาก

$$V_{L1} = L_1 \frac{di_{L1}}{dt} \quad (2.37)$$

โดย dt ในที่นี้คือเวลา ช่วง t_4 กับ t_5

จะได้ว่า

$$L_1 \frac{di_{L1}}{dt} = - \left[V_s \left(\frac{N_s}{N_p} \right) + V_o \right] \quad (2.38)$$

$$\frac{di_{L1}}{dt} = \frac{- \left[V_s \left(\frac{N_s}{N_p} \right) - V_o \right]}{L_1} \quad (2.39)$$

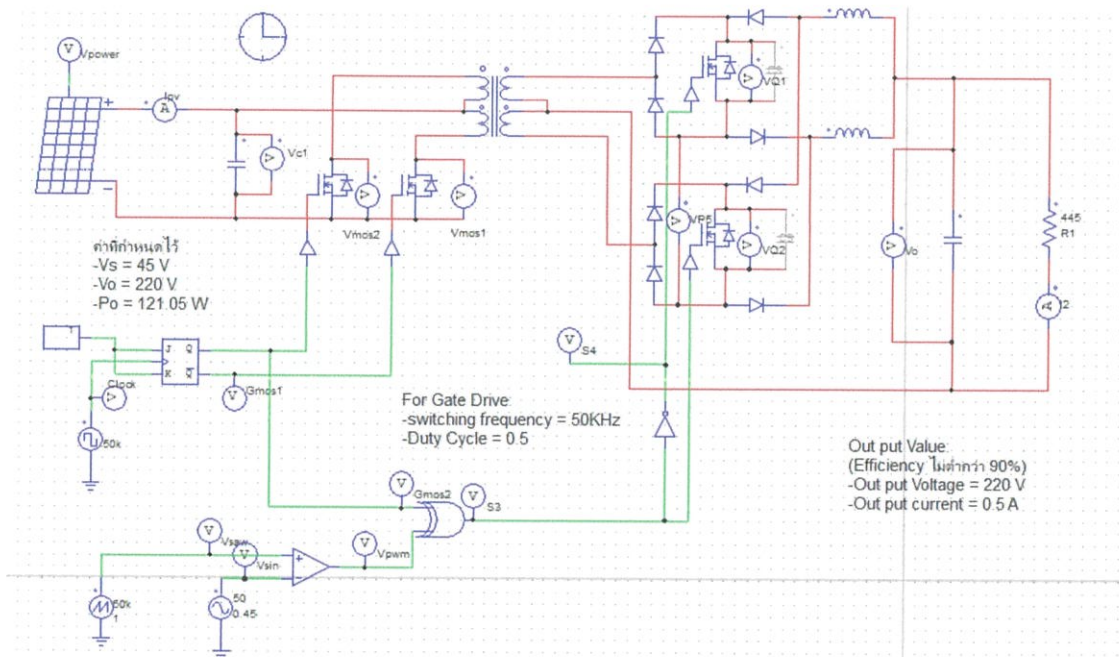
$$\therefore \Delta i_{L1} = \frac{- \left[V_s \left(\frac{N_s}{N_p} \right) + V_o \right]}{L_1} \cdot (T_5 - T_4) \quad (2.40)$$

บทที่ 3

การออกแบบและสร้างโมดูลไมโครอินเวอร์เตอร์

ในการศึกษาโมดูลไมโครอินเวอร์เตอร์จะมีการออกแบบและจำลองผลโดยใช้โปรแกรม Power Simulation (PSIM) ช่วยในการวิเคราะห์ผลการทดลองที่ได้ ซึ่งสามารถแสดงการวิเคราะห์และจำลองผลได้ดังต่อไปนี้

3.1 การจำลองผลวงจรไมโครอินเวอร์เตอร์ โดยใช้โปรแกรม Power Simulation (PSIM)



รูปที่ 3.1 วงจรไมโครอินเวอร์เตอร์ที่ใช้จำลองผลในโปรแกรม PSIM

เมื่อต้องการออกแบบและจำลองการทำงานของวงจรไมโครอินเวอร์เตอร์โดยกำหนดให้ มีคุณสมบัติดังต่อไปนี้

- กำลังเอาต์พุต 121 วัตต์
- แรงดันเอาต์พุต 220 โวลต์
- กำลังเอาต์พุต 121 วัตต์
- แรงดันขาเข้า 45 โวลต์
- ประสิทธิภาพไม่ต่ำกว่า 90 %
- ความถี่ในการทำงานของสวิตช์ 50 KHz

3.1.1 วิธีการคำนวณเพื่อหาค่าพารามิเตอร์ต่างๆ

3.1.1.1 ความต้านทาน (R)

จาก $V_s = 45V$, $V_o = 220V$ และ $P_o = 121.05W$

$$P_o = \frac{V_o^2}{R} \quad (3.1)$$

$$\therefore R = \frac{220^2}{121.05} = 400 \text{ Ohm}$$

3.1.1.2 กระแสขาออก (I_o)

$$I_o = \frac{V_o}{R} \quad (3.2)$$

ซึ่งจะได้ค่ากระแสขาออกเท่ากับ 0.55 A

3.1.1.3 อัตราส่วนจำนวนรอบ $\left[\frac{N_s}{N_p}\right]$ ของหม้อแปลงไฟฟ้า

$$\frac{V_o}{V_s} = 2\left(\frac{N_s}{N_p}\right) \cdot D \quad (3.3)$$

จากสมการที่ เมื่อ สามารถหาค่าอัตราส่วนจำนวนรอบ $\frac{N_s}{N_p}$ ได้เท่ากับ 7 รอบ

3.1.1.4 การออกแบบตัวเหนี่ยวนำ

จากค่าพารามิเตอร์ต่างๆ สามารถนำมาหาค่าของตัวเหนี่ยวนำน้อยที่สุด (L_{min}) ได้จาก

$$L_{min} = \frac{(1-2D)R}{4f} \quad (3.4)$$

จะได้ค่าตัวเหนี่ยวนำน้อยที่สุดมีค่าเท่ากับ 0.4 mH ซึ่งจากค่าตัวเหนี่ยวนำน้อยที่สุดนั้น สามารถเลือกขนาดค่าความเหนี่ยวนำ เท่ากับ 0.5 mH

3.1.1.5 การเลือกตัวเก็บประจุ

จากค่า Voltage Ripple สามารถนำมาหาค่าตัวเก็บประจุน้อยที่สุด (C_{min}) ได้จากสมการ

$$C_{min} \geq \frac{(1-2D)}{32L\left(\frac{\Delta V_0}{V_0}\right)f^2} \quad (3.5)$$

เมื่อพิจารณาค่า Voltage Ripple $\left(\frac{\Delta V_0}{V_0}\right)$ ที่มีค่าน้อยกว่า 1 เปอร์เซ็นต์ จะได้ค่าตัวเก็บประจุน้อยที่สุดมีค่ามากกว่าหรือเท่ากับ 0.6.5 μF

โดยในการเลือกค่าตัวเก็บประจุนั้น ควรเลือกให้มีพิกัดสูงกว่าค่าที่คำนวณได้ ซึ่งในการจำลองผลของวงจรนั้น ทำการเลือกค่าตัวเก็บประจุ เท่ากับ 1 μF (ต้องคำนึงถึงค่าความต้านทานเสมือนที่อนุกรมอยู่ในตัวเก็บประจุ (Equivalent Series Resistance, ESR) ด้วย ซึ่งในการเลือกพิกัดของตัวเก็บประจุนั้น ควรจะเลือกโดยคำนวณจาก

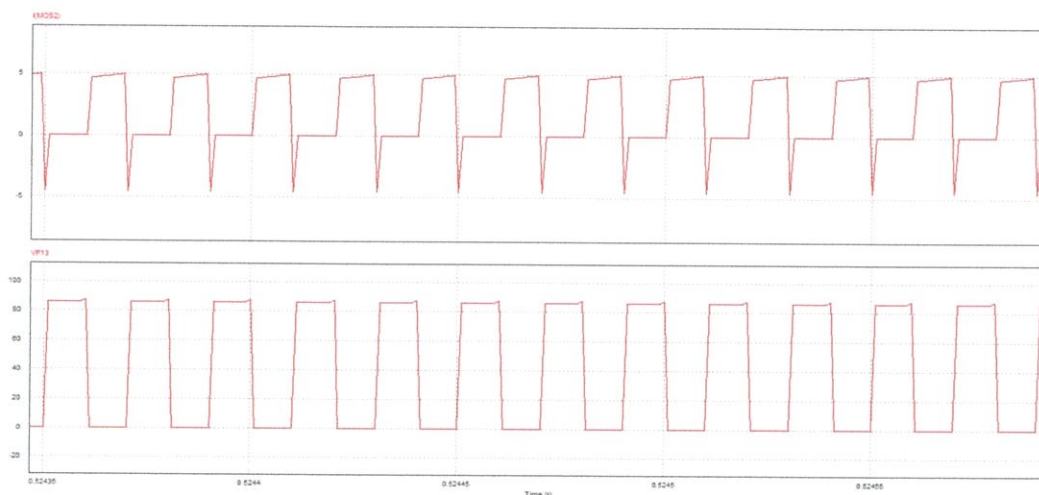
$$ESR \times I_c \leq ripple \quad (3.6)$$

โดยเลือกค่าของตัวเก็บประจุที่นำมาใช้งาน มีค่าเท่ากับ 1 μF

3.2 โครงสร้างทางฮาร์ดแวร์

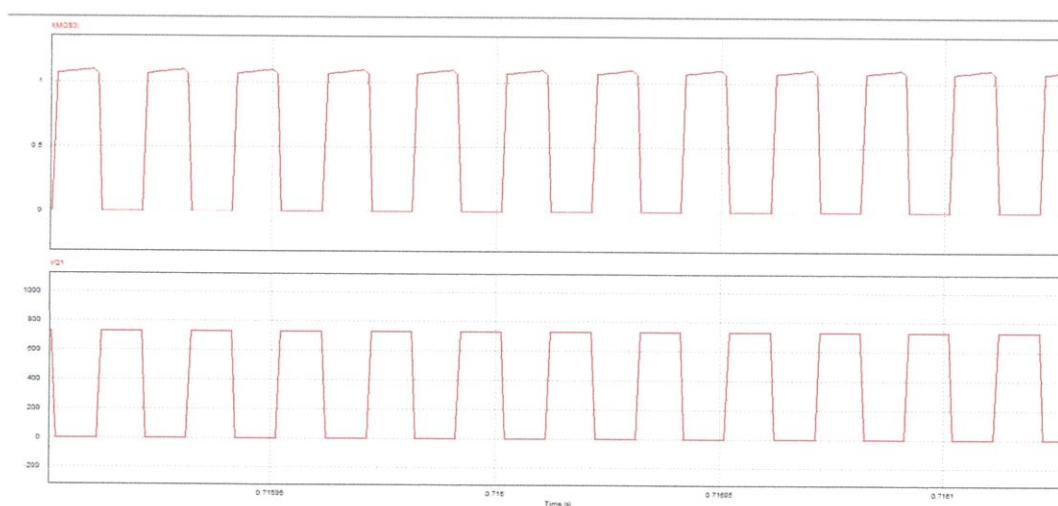
3.2.1 การเลือกพิกัดอุปกรณ์

3.2.1.1 มอสเฟต



รูปที่ 3.2 ค่ากระแสและแรงดันของมอสเฟตด้านด้านปฐมภูมิ

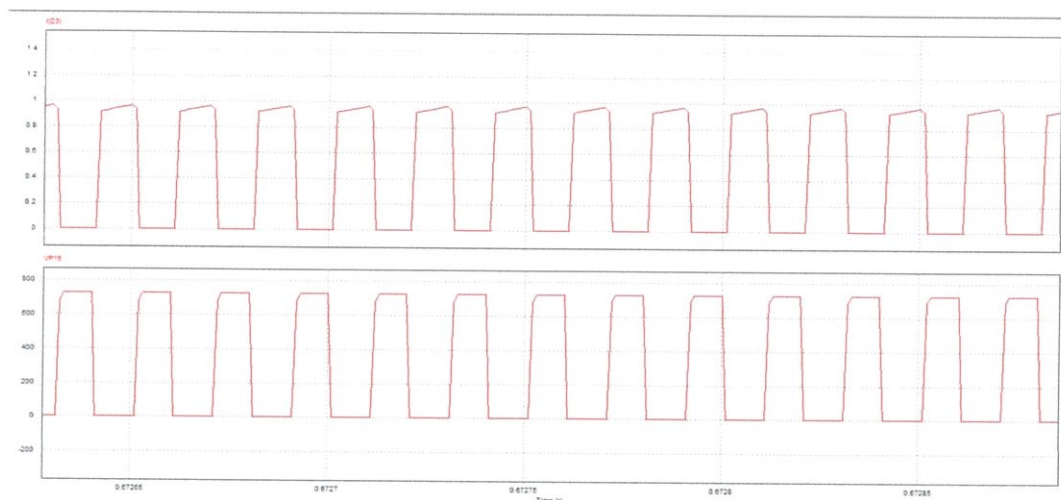
จากผลการจำลอง พบว่า กระแสมอสเฟตด้านด้านปฐมภูมิมีค่าประมาณ 5 แอมป์ และแรงดันระหว่างขาเดรน-ซอร์ส ในด้านไฟมาซีมีค่าประมาณ 90 โวลต์ จึงเลือกมอสเฟสเบอร์ IRFP250N ซึ่งมีพิกัด 200 โวลต์ 30 แอมป์



รูปที่ 3.3 ค่ากระแสและแรงดันของมอสเฟตด้านด้านหตุดยภูมิ

จากผลการจำลอง พบว่า กระแสมอสเฟสด้านทุติยภูมิมีค่าประมาณ 1 แอมป์ และแรงดันระหว่างขาเดรน-ซอร์ส ในด้านไพมารีมีค่าประมาณ 750 โวลต์ จึงเลือกมอสเฟสเบอร์ FQP7N80C ซึ่งมีพิกัด 800 โวลต์ 6.6 แอมป์

3.2.1.2 ไดโอด



รูปที่ 3.4 แรงดันตกคร่อมและกระแสของไดโอด D1

จากผลการจำลองที่ได้ ไดโอดทั้งแปดตัวจะมีค่าแรงดันตกคร่อมและกระแสใกล้เคียงกัน สามารถที่จะหาพิกัดของไดโอดได้ระมาณ 750 V และ กระแสประมาณ 1 A ดังนั้นจึงเลือกไดโอดเบอร์ MUR880AG ซึ่งมีพิกัด 800 โวลต์ 8 แอมป์

3.2.2 การพินหม้อแปลงเซนเตอร์แทป

(ก) กำลังไฟฟ้า

$$Po2 = I2mV2m = 0.336A * 355V = 119.28 \text{ Watts} \quad (3.7)$$

(ข) เลือกแกนเหล็ก

$$Ap = AcAw = \frac{Po2(1+\frac{1}{n})\sqrt{2}}{4JKwBmfs} \quad (3.8)$$

$$n = 0.8, Kw = 0.4, Bm = 0.5T, fs = 50kHz, J = 5 \times 10^6 A/m^2$$

$$Ap = 3795.466 \text{ mm}^2$$

เลือกแกน ETD42

$$A_p = 4659 \text{ mm}^2, A_w = 256 \text{ mm}^2, A_c = 182 \text{ mm}^2$$

$$\mu_e = 2030, L_m = 97.22 \text{ mm}, L_e = 93 \frac{\text{mm}}{\text{turn}}$$

(ค) คำนวณรอบการพัน

$$N_1 = \frac{V_{in/max}}{4AcBmfs}; V_{in/max} = 45\text{v} \quad \text{ได้ } N_1 = 2.47 \text{ เลือก } N_1 = 3 \text{ รอบ} \quad (3.9)$$

$$N_2 = \frac{V_{out/max}}{4AcBmfs}; V_{out/max} = 355\text{v} \quad \text{ได้ } N_2 = 19.5 \text{ เลือก } N_2 = 24 \text{ รอบ} \quad (3.10)$$

(ง) คำนวณขนาดลวดตัวนำ

$$A_1 = \frac{I_1}{J} = 0.538 \text{ mm}^2; I_1 = 2.69\text{A} \quad (3.11)$$

$$A_2 = \frac{I_2}{J} = 0.0672 \text{ mm}^2; I_2 = 0.336\text{A} \quad (3.12)$$

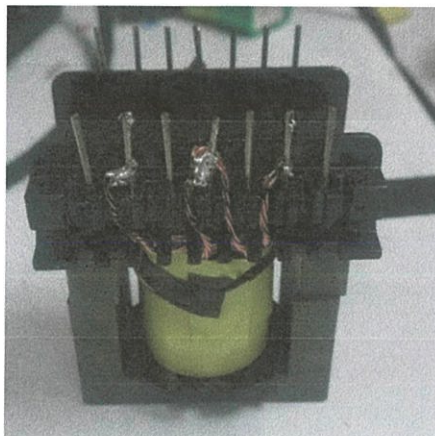
(จ) คำนวณค่าปรากฏการณ์ทางผิว (Skin dept) เพื่อใช้ในการเลือกลวดทองแดง

$$\delta = \sqrt{\frac{2\rho}{\mu\omega}} = 0.32374\text{mm}; \rho = 1.2, \mu = 1.724 \times 10^{-8} \quad (3.13)$$

ดังนั้น ต้องเลือกลวดตัวนำที่มีรัศมีน้อยกว่าค่า δ

เลือกลวดเบอร์ AWG 23 มีขนาดรัศมี 0.316 mm^2 มีขนาดพื้นที่หน้าตัด 0.2508 mm^2

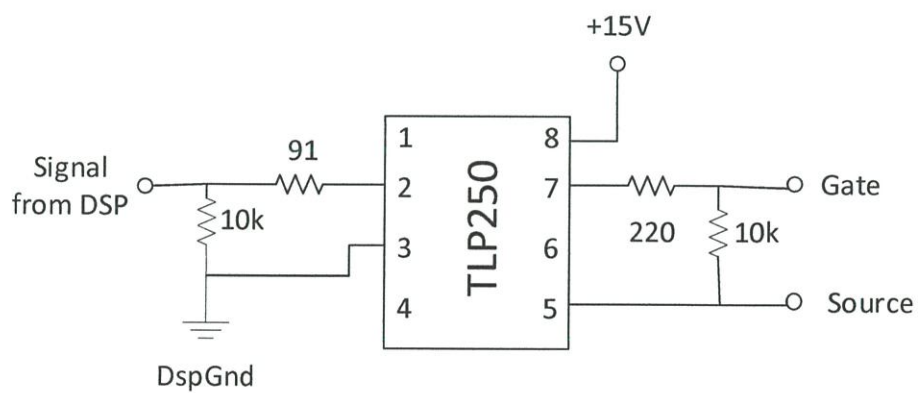
ขดลวด ฟังปฐมภูมิจึงต้องมีการเกลียว = $\frac{0.538 \text{ mm}^2}{0.2508 \text{ mm}^2} = 2.14$ รอบ เลือกการตีเกลียว 3 รอบ



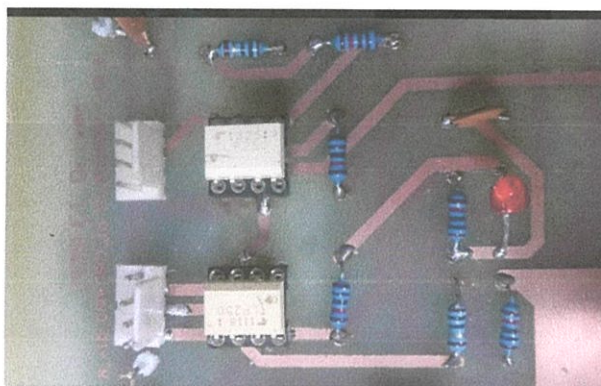
รูปที่ 3.5 ชิ้นงานจริงของหม้อแปลงเซ็นเตอร์แทป

3.2.3 วงจรขับมอสเฟส

วงจรวงจรถับมอสเฟสดังรูปที่ 3.6 เลือกไอซีเบอร์ TPL250 บริษัท Toshiba ใช้ขับมอสเฟส ทั้งฝั่งไพรมารีและเซคันดารี



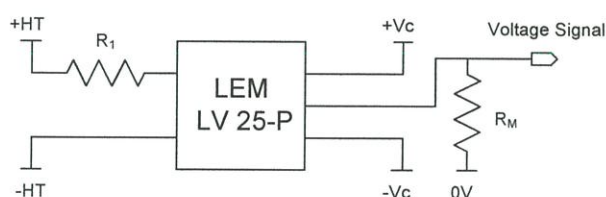
รูปที่ 3.6 วงจรถับมอสเฟส



รูปที่ 3.7 ชิ้นงานจริงของวงจรขั้วเกต

3.2.4 วงจรตรวจวัดสัญญาณแรงดันระบบไฟฟ้า

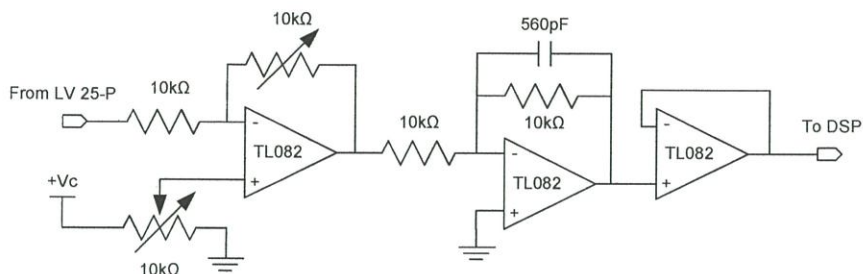
วงจรสำหรับตรวจวัดสัญญาณแรงดันระบบไฟฟ้าจะใช้หลักการทำงานโดยอาศัยหลักการเหนี่ยวนำของสนามแม่เหล็ก (Hall Effect) ของบริษัท LEM เบอร์ LV 25-P ซึ่งสามารถวัดแรงดันได้สูงสุด 250 V วงจรการต่อใช้งานแสดงดังรูปที่ 3.7 ในส่วนของสัญญาณขาเข้าเพื่อความแม่นยำในการวัดจะกำหนดให้กระแสที่ไหลผ่านความต้านทาน R_1 เท่ากับ 10 mA ดังนั้นการออกแบบให้สามารถวัดได้ 250 V จึงต้องเลือกขนาดความต้านทาน R_1 เท่ากับ 25 k Ω 2.5 W ทางด้านสัญญาณขาออกจะเป็นสัญญาณกระแสจึงต้องทำความต้านทาน R_M มาต่อเพื่อเปลี่ยนเป็นสัญญาณแรงดัน สำหรับการเลือกขนาดของความต้านทาน R_M นั้นเลือกจากขนาดของแหล่งจ่ายที่ใช้ คือ ± 15 V ทำให้ได้ค่าความต้านทาน R_M ที่สามารถใช้ได้น้อยที่สุดคือ 100 Ω ดังนั้นจึงเลือกขนาด 100 Ω



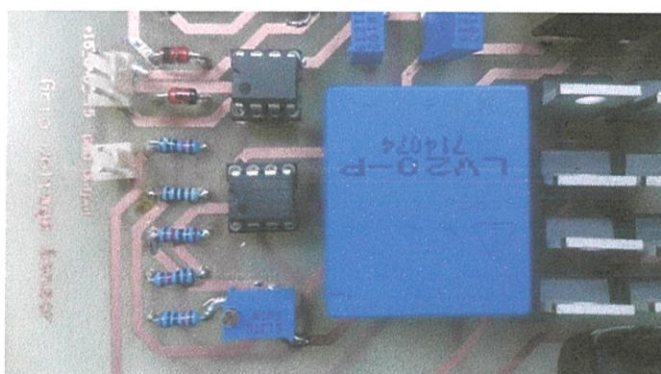
รูปที่ 3.8 การต่อใช้งานของ LEM LV 25-P

จากนั้นสัญญาณแรงดันที่ได้จะถูกส่งไปยัง ตัวประมวลผลสัญญาณดิจิทัล (DSP) ที่ช่องการแปลงสัญญาณอนาล็อกเป็นสัญญาณดิจิทัล (ADC) ซึ่งสามารถรับแรงดันได้ 0-3 V ดังนั้นจึงต้องมีการจำกัดแรงดันของสัญญาณไม่ให้เกิน 3 V_{p-p} นอกจากนั้นสัญญาณแรงดันที่ได้จาก LEM LV 25-P นั้นเป็นรูปคลื่นซายน์ซึ่งมีการแกว่งในซีกบวกและลบ ทำให้ต้องมีการยกระดับสัญญาณให้อยู่ใน

ซีกบวกทั้งหมด โดยวงจรจำกัดแรงดันและยกระดับแรงดันนี้ใช้ออปแอมป์เบอร์ TL082 ดังแสดงรูปที่ 3.8



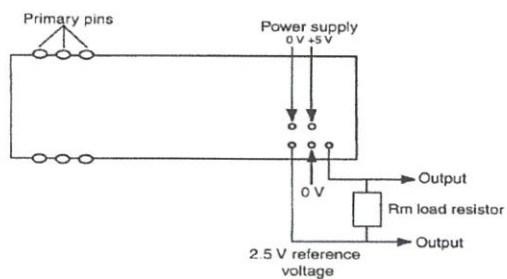
รูปที่ 3.9 วงจรตรวจวัดสัญญาณแรงดันระบบไฟฟ้า



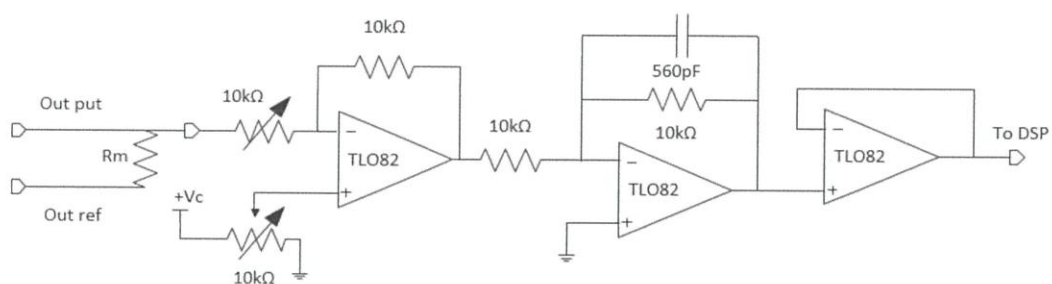
รูปที่ 3.10 วงจรตรวจวัดสัญญาณแรงดันระบบไฟฟ้าที่สร้างขึ้น

3.2.5 วงจรตรวจวัดสัญญาณกระแสระบบไฟฟ้า

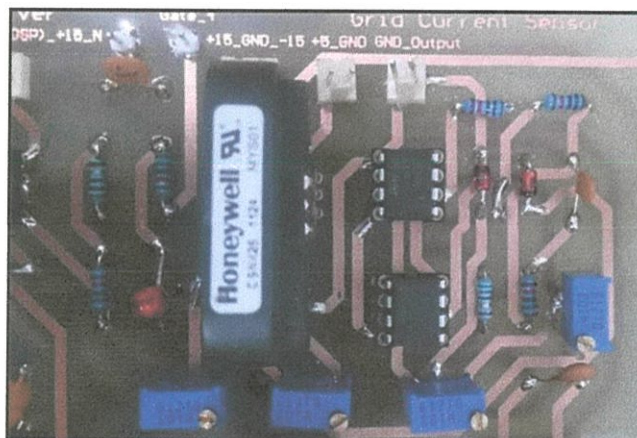
วงจรสำหรับตรวจวัดสัญญาณกระแสระบบไฟฟ้าจะใช้ Transducer เบอร์ CSNX25 ของบริษัท Honeywell โดยมีอัตราส่วนและรูปแบบของอุปกรณ์ดังรูปที่ 3.10 สัญญาณเอาต์พุตเป็นสัญญาณอนาล็อก ดังนั้นเราต้องทำการแปลงให้สัญญาณอยู่ในซีกบวกก่อนส่งสัญญาณไปให้ DSP ใช้ในการคำนวณต่อไป โดยในการปรับค่าของตัวต้านทานปรับค่าได้จะใช้ตัวต้านทานแบบทริมพอท (Trimpot) วงจรยกระดับสัญญาณของวงจรตรวจวัดกระแสระบบไฟฟ้าที่ออกแบบแล้วแสดงดังรูปที่ 3.12



รูปที่ 3.11 Current Transducer CSNX25 (Honeywell)



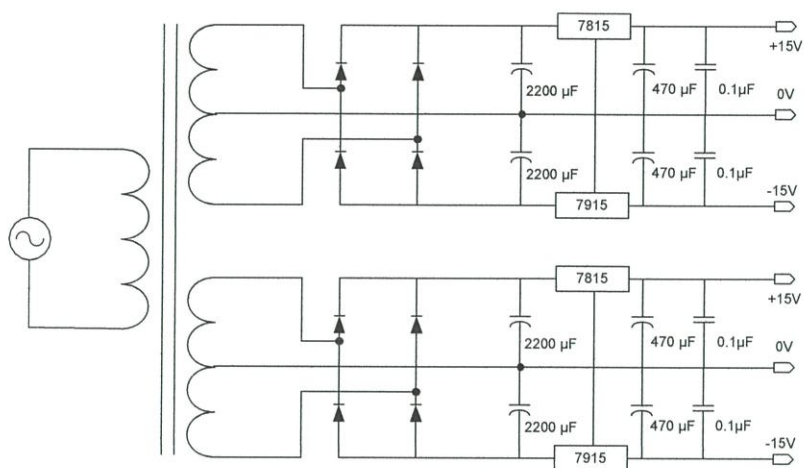
รูปที่ 3.12 วงจรยกระดับและขยายสัญญาณกระแส



รูปที่ 3.13 วงจรตรวจวัดสัญญาณกระแสระบบไฟฟ้าที่สร้างขึ้น

3.2.6 แหล่งจ่ายไฟสำหรับวงจรตรวจวัดสัญญาณ

เนื่องจากตัวตรวจวัดสัญญาณทั้งแรงดันและกระแส รวมทั้งออปแอมป์ที่ใช้ในวงจรตรวจวัดสัญญาณ จำเป็นต้องใช้ไฟเลี้ยง $\pm 15\text{ V}$ ทำให้ต้องสร้างวงจรเรียงกระแสที่สามารถจ่ายแรงดัน $+15\text{ V}$, -15 V และ 0 V จำนวนสองชุด ดังแสดงในรูปที่ 3.13



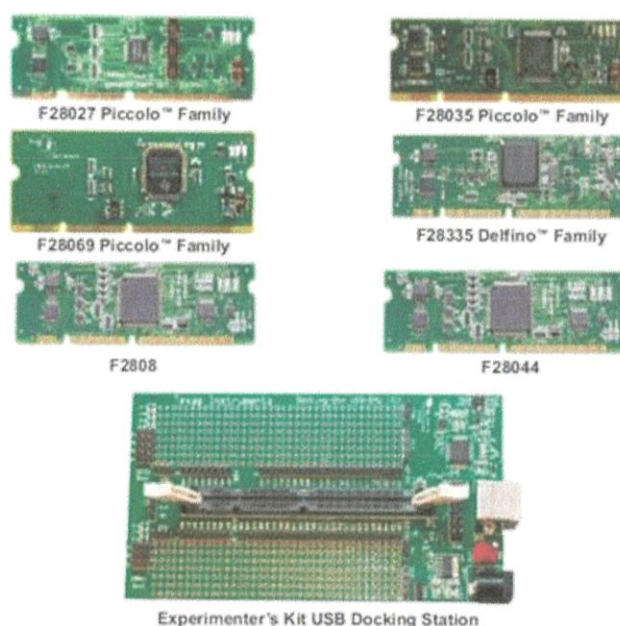
รูปที่ 3.14 แหล่งจ่ายไฟสำหรับวงจรตรวจวัดสัญญาณ



รูปที่ 3.15 วงจรเรียงกระแสสำหรับวงจรตรวจวัดสัญญาณที่สร้างขึ้น

3.3 ตัวประมวลผลสัญญาณดิจิทัล (Digital Signal Processing, DSP)

งานวิจัยนี้เลือกใช้ตัวประมวลผลสัญญาณดิจิทัล (DSP) ของบริษัท Texas Instruments ซึ่งเป็นชุด C2000™ Experimenter's Kit ซึ่งชุดนี้จะประกอบไปด้วยส่วนหลักๆสองส่วน คือ ส่วน docking station จะเป็นส่วนที่ต่อกับขาอินพุทเอาท์พุท และชุดไฟเลี้ยง อีกส่วนคือ controlCARD ซึ่งตัว controlCARD สามารถเลือกได้หลายตระกูล โดยงานวิจัยนี้เลือกตระกูล F28335 Delfino ซึ่งมีความเร็วในการประมวลผลที่ 150 MHz



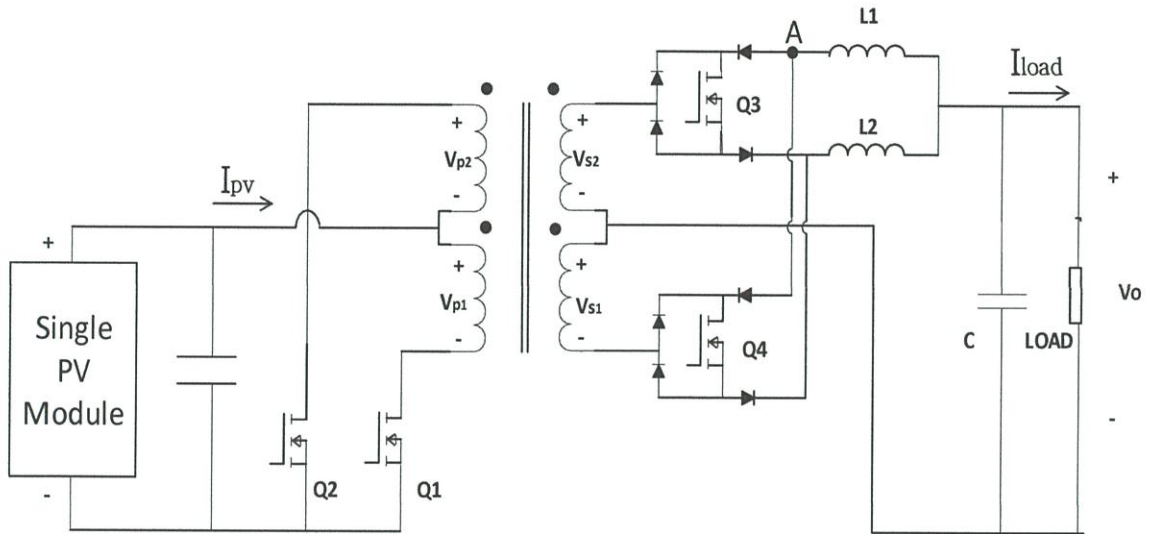
รูปที่ 3.16 ตัวประมวลผลสัญญาณดิจิทัล (DSP)

บทที่ 4

ผลการทดลอง

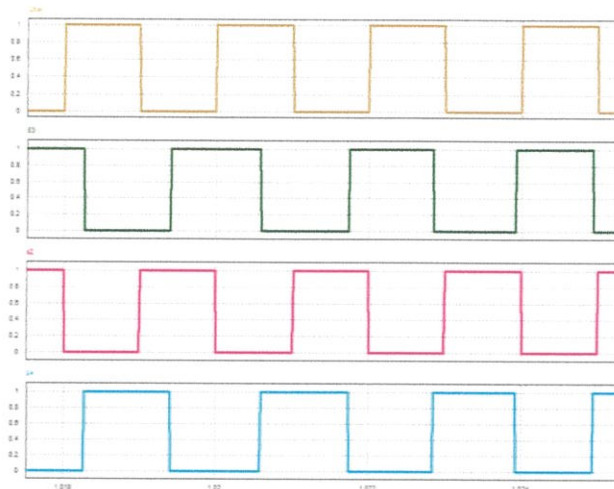
4.1 ผลการทดสอบวงจรไมโครอินเวอร์เตอร์

ทำการวัดค่าต่างๆของวงจรไมโครอินเวอร์เตอร์ จากการจำลองด้วยโปรแกรม Psim เพื่อยืนยันความถูกต้องและเปรียบเทียบผลที่ได้จากการทดลอง โดยแสดงตำแหน่งการวัดดังรูปที่ 4.1

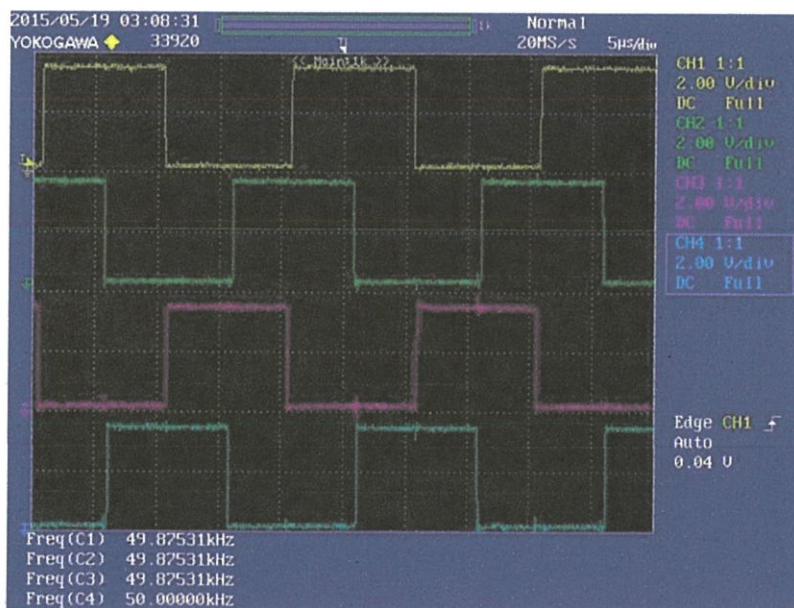


รูปที่ 4.1 ตำแหน่งการวัดของชุดไมโครอินเวอร์เตอร์

4.1.1 สัญญาณขับเคลื่อน



(ก) ผลการจำลองสัญญาณขับเคลื่อนด้วยโปรแกรม Psim

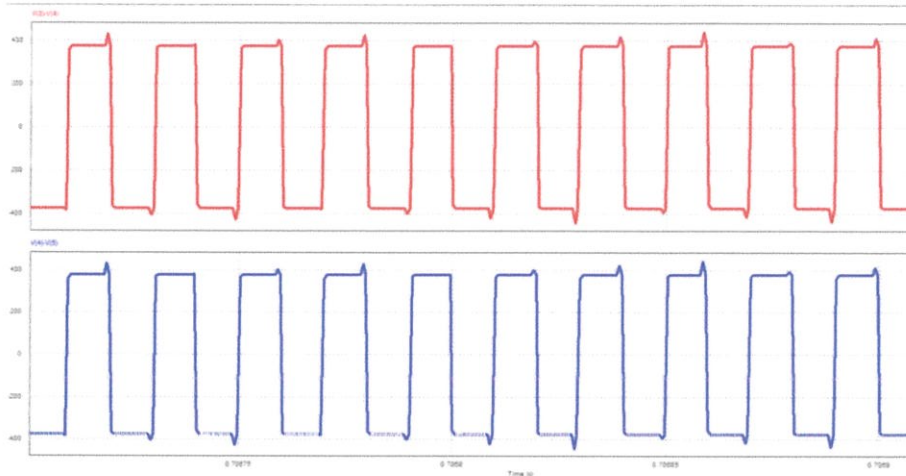


(ข) สัญญาณขับเคลื่อนจาก DSP ที่ใช้ในการทดลอง

รูปที่ 4.2 สัญญาณขับเคลื่อนมอเตอร์ Q1,Q3,Q2,Q4 ตามลำดับ

4.1.2 แรงดันที่ขั้วหม้อแปลง

ทำการวัดแรงดันที่ขั้วหม้อแปลงฝั่งทุติยภูมิ



(ก) ผลจากการจำลองด้วยโปรแกรม Psim

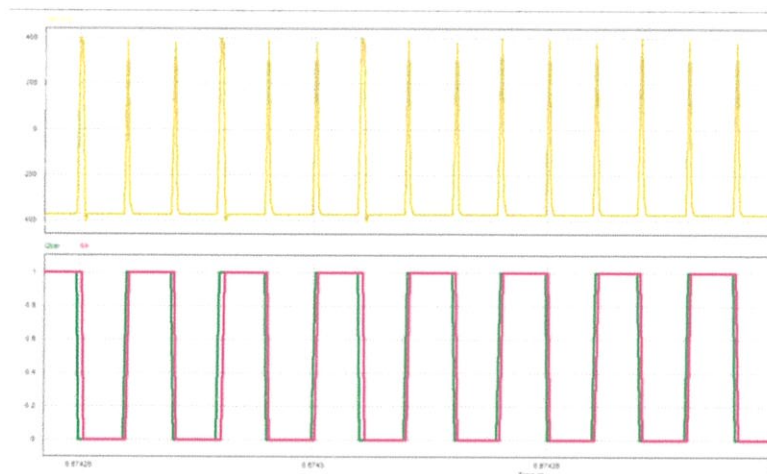


(ข) ผลจากการทดลอง

รูปที่ 4.3 แรงดันที่ขั้วหม้อแปลง Vs1,Vs2

4.1.3 แรงดันจุด A เปรียบเทียบกับสัญญาณสวิตช์ Q2,Q3

4.1.3.1 ช่วงการสวิตช์โดยที่ Duty มีค่าประมาณ 1



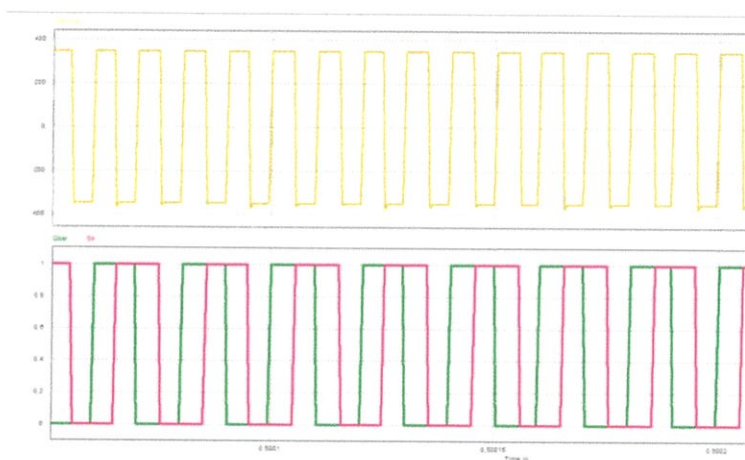
(ก) ผลจากการจำลองด้วยโปรแกรม Psim



(ข) ผลจากการทดลอง

รูปที่ 4.4 แรงดันจุด A เปรียบเทียบกับสัญญาณสวิตช์ Q2,Q3 โดยที่ Duty การสวิตช์มีค่าประมาณ 1

4.1.3.2 ช่วงการสวิตช์โดยที่ Duty มีค่าประมาณ 0.5



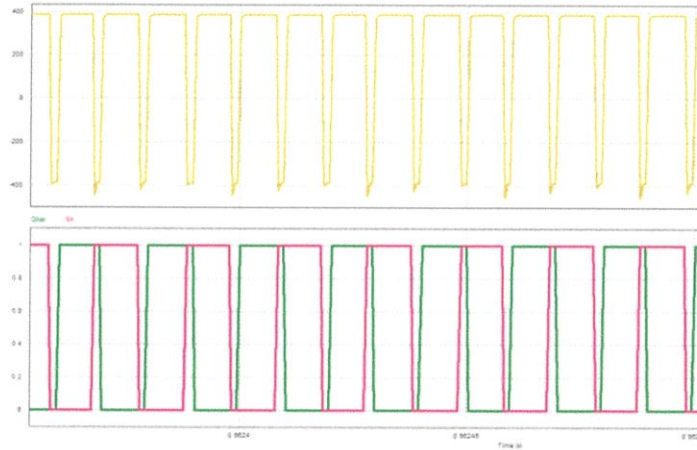
(ก) ผลจากการจำลองด้วยโปรแกรม Psim



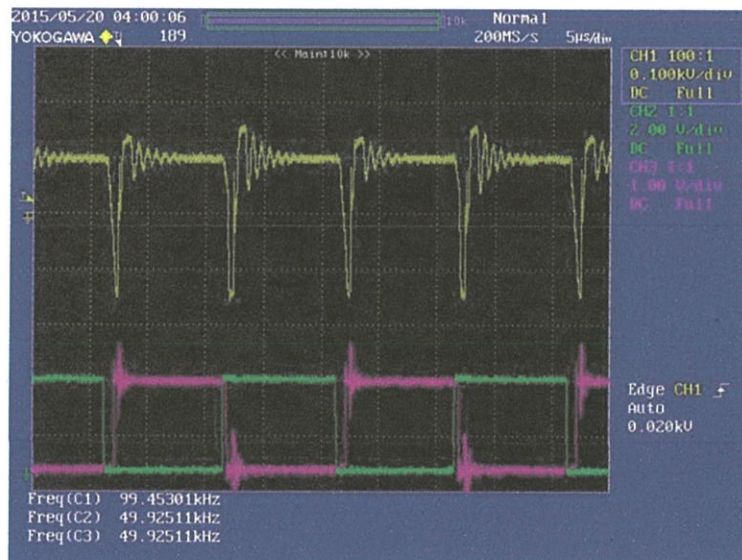
(ข) ผลจากการทดลอง

รูปที่ 4.5 แรงดันจุด A เทียบกับสัญญาณสวิตช์ Q2,Q3 โดยที่ Duty การสวิตช์มีค่าประมาณ 0.5

4.1.3.3 ช่วงการสวิตช์โดยที่ Duty มีค่าประมาณ 0



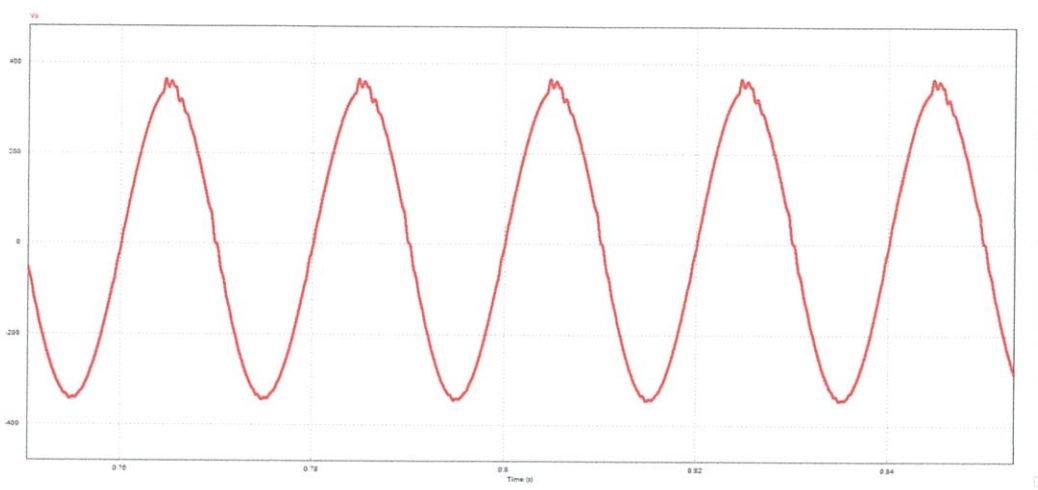
(ก) ผลจากการจำลองด้วยโปรแกรม Psim



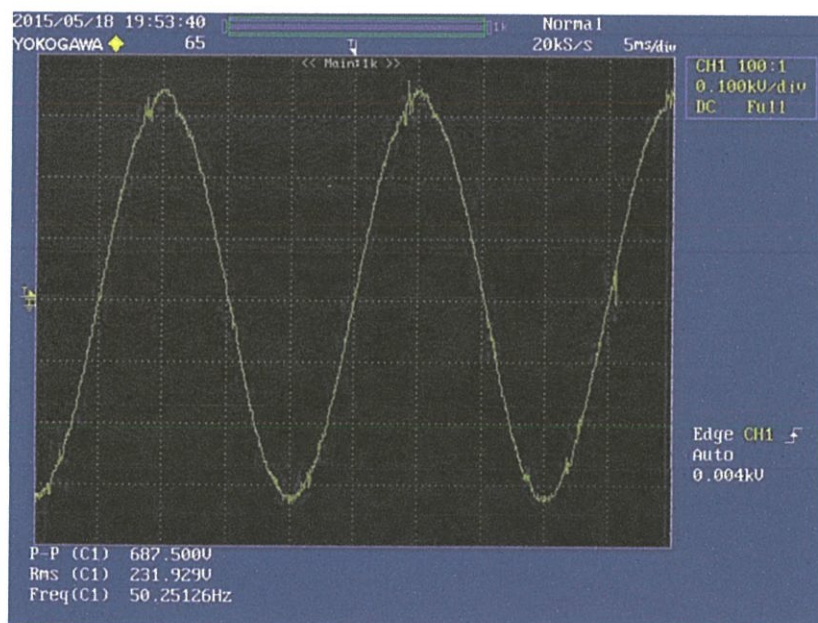
(ข) ผลจากการทดลอง

รูปที่ 4.6 แรงดันจุด A เปรียบเทียบกับสัญญาณสวิตช์ Q2,Q3 โดยที่ Duty การสวิตช์มีค่าประมาณ 0

4.1.4 แรงดันเอาต์พุต



(ก) ผลจากการจำลองด้วยโปรแกรม Psim

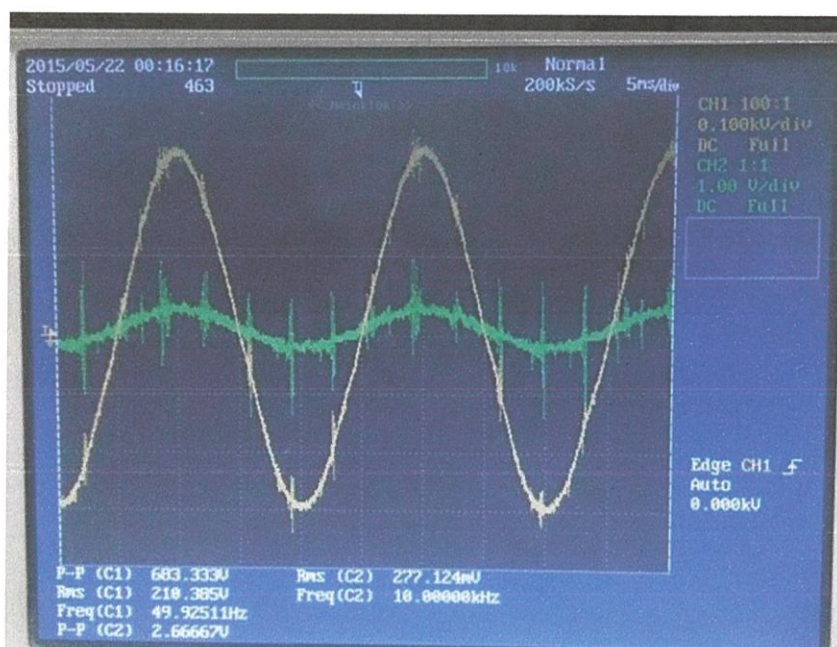


(ข) ผลจากการทดลอง

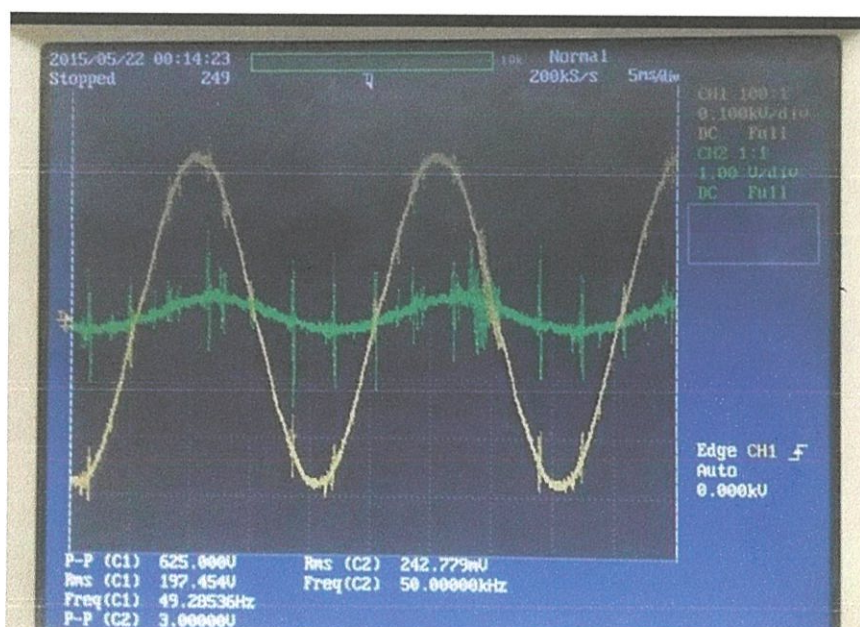
รูปที่ 4.7 แรงดันเอาต์พุตจากชุดไมโครอินเวอร์เตอร์

4.1.5 การทดลองจ่ายโหลด

วัดแรงดันแลกระแสเข้าที่พวขณะทำการทดลองโดยจ่ายโหลด R,RL,RC



(ก)



(ข)

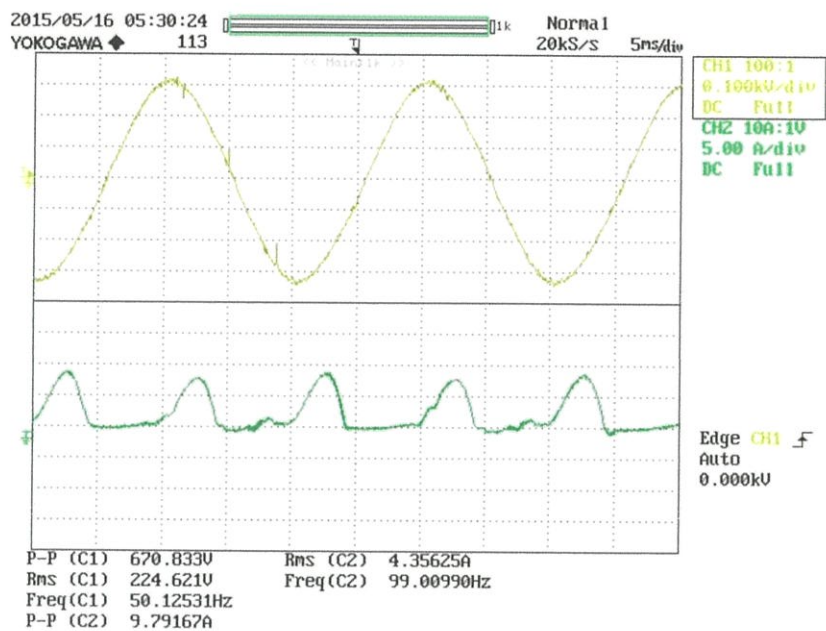


(ค)

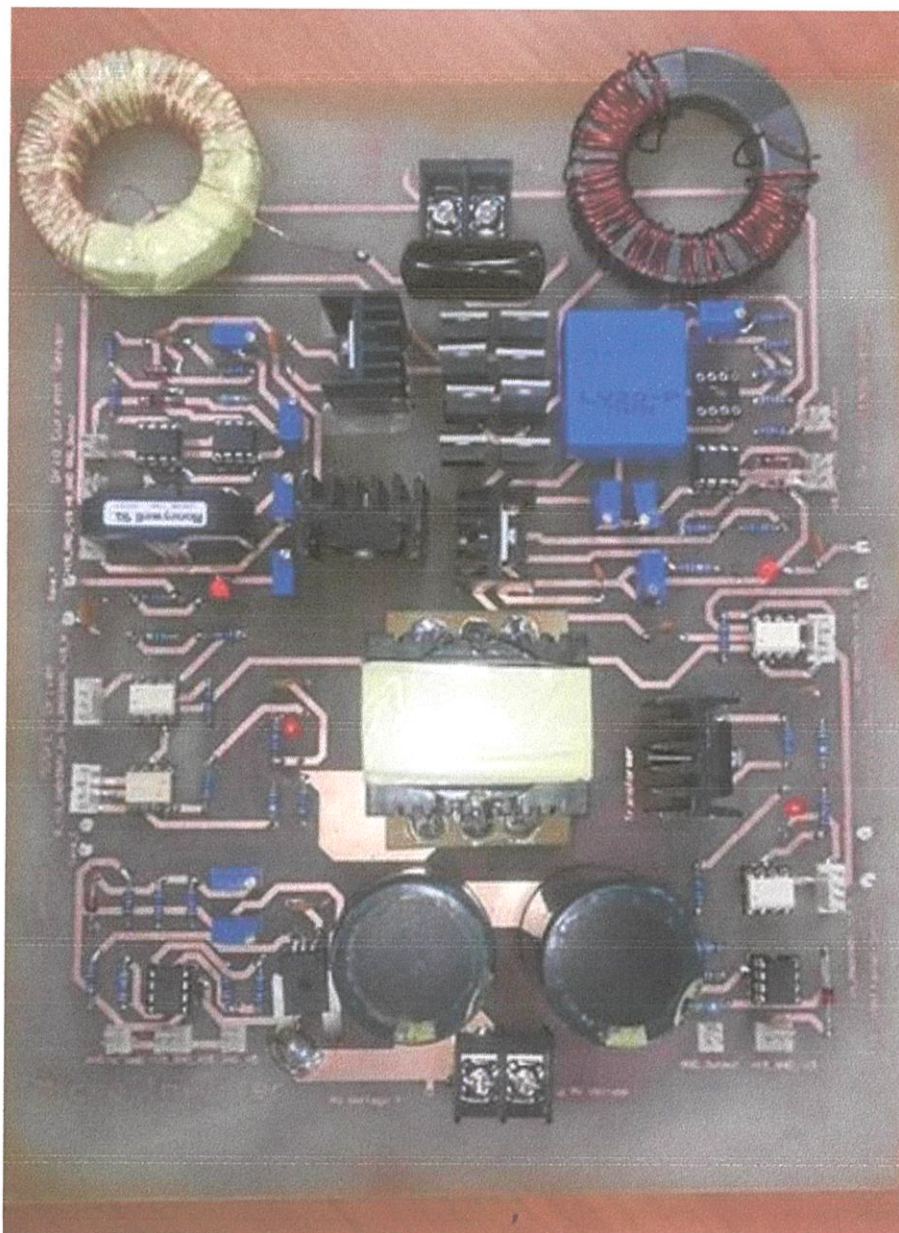
รูปที่ 4.8 แรงดันและกระแสเอาต์พุตขณะจ่ายโหลด (ก) ตัวต้านทาน 110 Ohm (ข) ตัวต้านทาน 110 Ohm ตัวเหนี่ยวนำ 1.18H (ค) ตัวต้านทาน 110 Ohm ตัวเก็บประจุ 15uf

จากการทดลองจ่ายโหลดตัวต้านทาน 100 วัตต์ พบว่ากระแสอินพุต dc ที่จ่ายที่จ่าย ขณะแรงดัน DC อินพุต 40 โวลต์ มีค่าเท่ากับ 4.3 A ซึ่งคิดค่า Power ได้ = $40 \times 4.3 = 172$ วัตต์ คิด

$$\text{ประสิทธิภาพของชุดไมโครอินเวอร์เตอร์} = \frac{100}{172} \times 100\% = 58.14\%$$



รูปที่ 4.9 แรงดันเข้าพุดและกระแสอินพุทขณะจ่ายโหลดตัวต้านทาน (100วัตต์)



รูปที่ 4.10 ชุดไมโครอินเวอร์เตอร์ที่ได้สร้างขึ้นจริง

บทที่ 5

สรุปผลการทดลอง

5.1 สรุปผลการทดลอง

โครงการนี้นำเสนอเสนอแนวคิดการใช้เทคนิค Phase-Controlled With High-Frequency ในการออกแบบไมโครอินเวอร์เตอร์สำหรับระบบพลังงานไฟฟ้าด้วยแสงอาทิตย์ ชุดวงจรประกอบไปด้วยส่วนวงจรพุก-พุล ด้านไพรมารีมีสวิตช์สองตัวสลับกันทำงานด้วยดิโอดที่มีค่าใกล้เคียง 0.5 ต่อกับหม้อแปลงความถี่สูงเซ็นเตอร์แทปเพื่อยกระดับแรงดันไฟฟ้าให้สูงขึ้น ส่วนด้านเซคันดารีประกอบไปด้วย สวิตช์สองตัวซึ่งจะทำงานในลักษณะของ Phase-Controlled เพื่อให้ระดับแรงดันเอาต์พุตมีลักษณะรูปคลื่นพีคดับบลิวยูเอ็ม ซึ่งเมื่อผ่านวงจรกรอง (Filter) ก็จะได้แรงดันเอาต์พุตที่มีลักษณะรูปคลื่น sine โดยสัญญาณที่ใช้ในการสวิตช์มอสเฟตนั้นใช้ตัวประมวลผลสัญญาณดิจิทัล (DSP) ซึ่งมีความเร็วในการประมวลผลที่ 150 MHz

จากการทำงานของชุดไมโครอินเวอร์เตอร์นั้นผลที่ได้เป็นไปตามการออกแบบสามารถจ่ายโหลดได้จริง ทั้งโหลดตัวต้านทาน โหลดตัวเหนี่ยวนำ และโหลดตัวตัวเก็บประจุ

5.2 ข้อเสนอแนะในการพัฒนางานวิจัยต่อไป

ในระหว่างการทดลองชุดไมโครอินเวอร์เตอร์ ปัญหาที่พบเจอคือการเกิด ringing voltage ที่ขั้วของหม้อแปลง แม้จะมีการออกแบบชุดสแน็บเบอร์เพื่อลดปัญหาดังกล่าวแต่ก็ส่งผลให้เกิดการสูญเสีย(loss) ในวงจรเยอะอยู่ดีส่งผลให้หม้อแปลงมีประสิทธิภาพต่ำ เพื่อการแก้ไขปัญหาดังกล่าวควรศึกษาวิธีการพันหม้อแปลงและกระบวนการพันหม้อแปลงที่ถูกต้องด้วยวิธีการไบไฟลาร์ (bifilar wiring) เพื่อที่จะให้ประสิทธิภาพของหม้อแปลงดีขึ้นและจะส่งผลให้วงจรไมโครอินเวอร์เตอร์ทำงานได้อย่างเต็มประสิทธิภาพมากขึ้นด้วย

เอกสารอ้างอิง

- [1] Koosuke Harada, Hiroshi Sakamoto, and Masahito Shoyama, "Phase-Controlled DC-AC Converter with High-Frequency Switching," *IEEE Transactions on Power Electronics*. Vol. 3. No. 4. Oct 1988.
- [2] ภาณุพงศ์ ตรียุท และคนอื่นๆ. "ไมโครอินเวอร์เตอร์สำหรับระบบผลิตพลังงานไฟฟ้าด้วยแสงอาทิตย์," *ปริญญาานิพนธ์ วิศวกรรมศาสตรบัณฑิต*, สาขาวิชาวิศวกรรมไฟฟ้า, สถาบันเทคโนโลยีพระจอมเกล้าเจ้าคุณทหารลาดกระบัง, 2553
- [3] รศ.ดร.วีระเชษฐ ชันเงิน, วุฒิพล ธาราธิระเศรษฐ์, *อิเล็กทรอนิกส์กำลัง (Power Electronic)*, สถาบันเทคโนโลยีพระจอมเกล้าเจ้าคุณทหารลาดกระบัง, 2550.
- [4] ปัญญา สมิตสุวรรณค์, "ไมโครอินเวอร์เตอร์สำหรับการผลิตพลังงานไฟฟ้าด้วยเซลล์แสงอาทิตย์ชนิดเชื่อมต่อบระบบไฟฟ้า," *วิทยานิพนธ์ วิศวกรรมศาสตรบัณฑิต*, สาขาวิชาวิศวกรรมไฟฟ้า, สถาบันเทคโนโลยีพระจอมเกล้าเจ้าคุณทหารลาดกระบัง, 2554.
- [5] ไพศักดิ์ พูลผลกา, "เทคนิคการมอดดูเลตเชิงความกว้างพัลส์เพื่อควบคุมแรงดันโหมดร่วมของ PV อินเวอร์เตอร์ชนิดเชื่อมต่อบระบบไฟฟ้าแบบไร้หม้อแปลง," *วิทยานิพนธ์ วิศวกรรมศาสตรบัณฑิต*, สาขาวิชาวิศวกรรมไฟฟ้า, สถาบันเทคโนโลยีพระจอมเกล้าเจ้าคุณทหารลาดกระบัง, 2553.

ภาคผนวก

ภาคผนวก ก
บทความวิจัย

ไมโครอินเวอร์เตอร์

MICRO-INVERTER

คุณนิธิ พงษ์ทองหล่อ และ วัชรินทร์ ช่างพะเนา

ภาควิชาวิศวกรรมไฟฟ้า คณะวิศวกรรมศาสตร์ สถาบันเทคโนโลยีพระจอมเกล้าเจ้าคุณทหารลาดกระบัง

1 ซอยคลองกรุง 1 ลาดกระบัง กรุงเทพมหานคร 10520 โทรศัพท์ 02-739-2478 E-mail : kunniti_p@outlook.co.th

บทคัดย่อ

โครงการนี้เป็นกรนำเสนอการวิเคราะห์ออกแบบและสร้างเครื่องต้นแบบไมโครอินเวอร์เตอร์สำหรับระบบผลิตไฟฟ้าด้วยแสงอาทิตย์โดยใช้แผงเซลล์แสงอาทิตย์ที่ติดตั้ง 120 วัตต์เป็นต้นกำเนิดพลังงาน เชื่อมต่อกันในลักษณะเซลล์แสงอาทิตย์หนึ่งแผงร่วมกับไมโครอินเวอร์เตอร์หนึ่งชุด ชุดไมโครอินเวอร์เตอร์นี้ประกอบไปด้วยวงจรแปรผันไฟตรงซึ่งเลือกใช้วงจรพหุผลคอนเวอร์เตอร์ ซึ่งเปรียบเสมือนการนำฟอรั่เว็คคอนเวอร์เตอร์สองชุดมาทำงานร่วมกันโดยผลัดกันทำงานในแต่ละครึ่งคาบเวลาในลักษณะกลับเฟส ทำให้จ่ายกำลังได้สูง และใช้เทคนิคเฟสคอนโทรลดิจิตอลเพื่อคอนเวอร์เตอร์ ในการแปลงไฟฟ้ากระแสตรงเป็นไฟฟ้ากระแสสลับความถี่ 50 เฮิร์ต โดยมีหน่วยประมวลผลซึ่งใช้ตัวประมวลผลสัญญาณดิจิตอล (DSP) รุ่น TMS320F28335 ในการควบคุมการทำงานของชุดไมโครอินเวอร์เตอร์ ซึ่งได้ทำการสร้างเครื่องต้นแบบไมโครอินเวอร์เตอร์และทำการทดสอบจริงซึ่งผลการการทำงานของเครื่องต้นแบบไมโครอินเวอร์เตอร์สามารถจ่ายโหลดได้ทั้งโหลดตัวต้านทาน ตัวเหนี่ยวนำ และตัวเก็บประจุ ตามที่ออกแบบไว้และสามารถนำไปพัฒนาต่อเพื่อให้ชุดไมโครอินเวอร์เตอร์สามารถเชื่อมต่อเข้ากับระบบไฟฟ้าได้

Abstract

This thesis present analysis, design and construction of a prototype micro inverter for 120 watts photovoltaic module. Micro inverter has two power conversion stage. One is Push-Pull converter with 50 kHz switching frequency. The advantages of this technique are high power. The other is Phase-controlled DC-AC converter with high-frequency switching that switch consist of mosfet and diode. Each pair of switch was alternately operated with 50 KHz. The advantages of this technique are simple and high efficiency and power can flow bidirectional through this converter. Digital signal processor (DSP) TMS380F28335 is used for control the operation of the micro inverter. Finally a micro-inverter able to supply R L C load as designed and will be develop to connect to the system in the future.

1. บทนำ

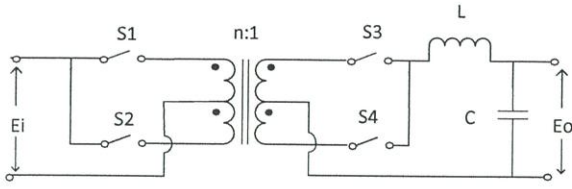
เป็นที่ทราบกันดีอยู่แล้วว่าปริมาณสำรองของพลังงานจากฟอสซิล (ก๊าซธรรมชาติและถ่านหิน) บนโลกนี้กำลังจะหมดไปหากมนุษย์เราไม่สามารถค้นหาแหล่งพลังงานได้เพิ่มเพิ่มเติมได้อีกทำให้มนุษย์จึงเร่งหาพลังงานทดแทนชนิดอื่น ๆ มาเพื่อนำมาใช้แทนพลังงานจากฟอสซิลทำให้หลายประเทศทั่วโลกหันมาส่งเสริมการผลิตและการใช้พลังงานทดแทนซึ่งเป็นพลังงานสะอาดและใช้ไม่มีวันหมด

2. ทฤษฎีที่เกี่ยวข้อง

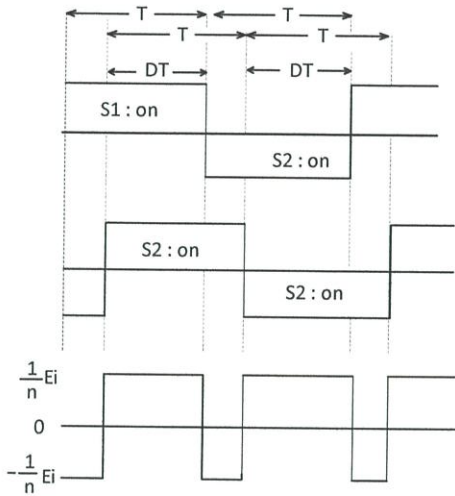
2.1 Phase-Controlled DC-AC Converter with High-Frequency Switching

Phase-Controlled DC-AC Converter with High-Frequency Switching เป็นวงจรที่มีสวิตช์คู่ทั้งในฝั่งปฐมภูมิและฝั่งทุติยภูมิของหม้อแปลงแยกโศด อัตราการเปลี่ยนแปลงแรงดันจะถูกควบคุมโดยความต่างเฟสของสวิตช์ทั้งสองคู่ กระแสและแรงดันกระชากในระหว่างการสับเปลี่ยนสวิตช์หรือการสวิตช์ซึ่งจะถูกลดลงโดยขดลวดที่ถูกแยกเป็นสองตัว สามารถลดขนาดของหม้อแปลงได้เป็นผลมาจากการที่เพิ่มความถี่ในการสวิตช์ซึ่งและวงจรนี้สามารถจ่ายโศดรีแอกทีฟได้อีกด้วย วงจร Phase-Controlled DC-AC Converter นี้เหมาะสำหรับวงจร Uninterruptible power supply (UPS) และสามารถประยุกต์ใช้สำหรับวงจร Micro Inverter ได้อีกด้วย

วงจรพื้นฐานของวงจร Phase-Controlled DC-AC converter ได้แสดงในรูปที่ 1 สวิตช์ S_1 และ S_2 ในฝั่งปฐมภูมิของหม้อแปลงทำการเปิดและปิดสลับกันเข้าไปข้างหน้าโดยมี Duty ratio โกลด์เพียง 50 เปอร์เซ็นต์ ดังแสดงในรูปที่ 2 สวิตช์ S_3 และ S_4 ในฝั่งทุติยภูมิทำการเปิดและปิดสลับกันเข้าไปข้างหน้าและทำงานเช่นเดียวกันกับฝั่งปฐมภูมิ สวิตช์ในฝั่งปฐมภูมิและฝั่งทุติยภูมิจะทำงานโดยมีความต่างเฟสเท่ากับ DT เมื่อ D คือเวลาที่ทำงานสอดคล้องกันของ Duty ratio ของวงจรคอนเวอร์เตอร์



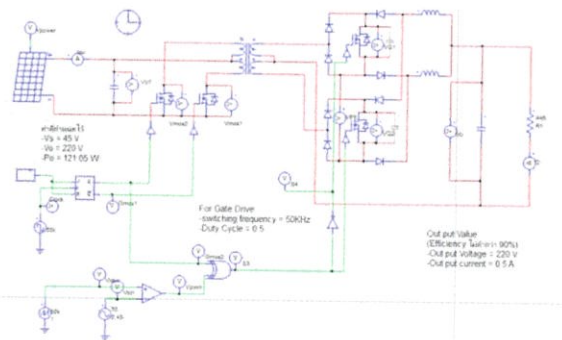
รูปที่ 1 รูปคลื่นสัญญาณแรงดันและกระแส



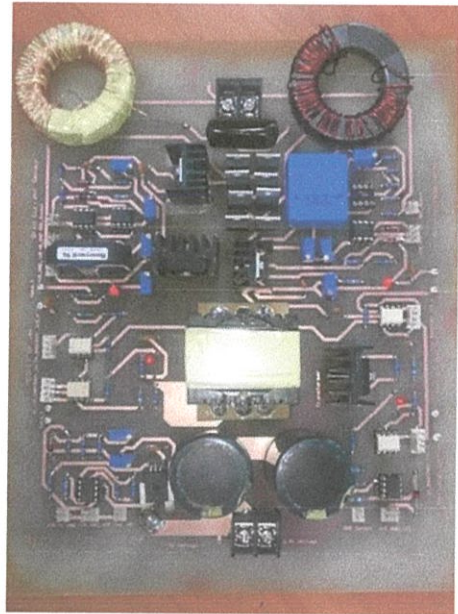
รูปที่ 2 รูปแบบการสวิตช์และแรงดันขาออก

3. การออกแบบและสร้างโมดูลไมโครอินเวอร์เตอร์

ในการศึกษาโมดูลไมโครอินเวอร์เตอร์เทอมมีการออกแบบและจำลองผลโดยใช้โปรแกรม Power Simulation (PSIM) รูปที่ 3 ช่วยในการวิเคราะห์ผลการทดลองก่อนที่จะสร้างไมโครอินเวอร์เตอร์ขึ้นจริง ซึ่งสามารถแสดงได้ดังรูปที่ 4



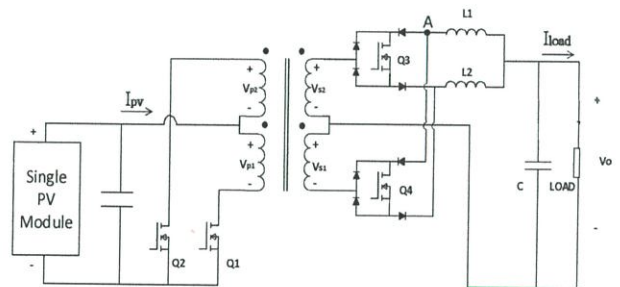
รูปที่ 3 การจำลองชุดไมโครอินเวอร์เตอร์ด้วยโปรแกรม (PSIM)



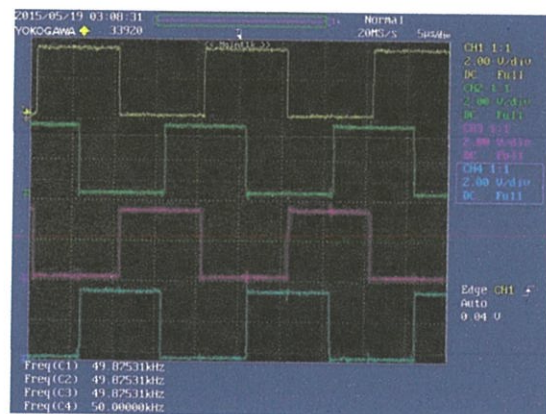
รูปที่ 4 ชุดไมโครอินเวอร์เตอร์ที่ได้สร้างขึ้นจริง

4. ผลการทดลอง

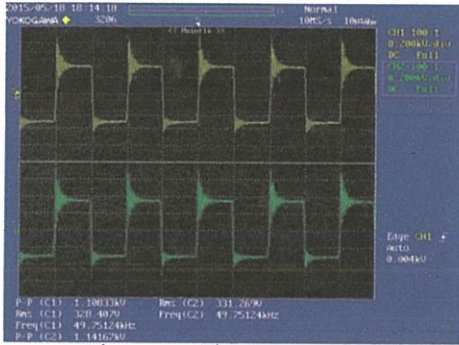
ทำการวัดค่าต่างๆของวงจรไมโครอินเวอร์เตอร์ ที่ได้สร้างขึ้นจริงโดยแสดงตำแหน่งการวัดดังรูปที่ 5



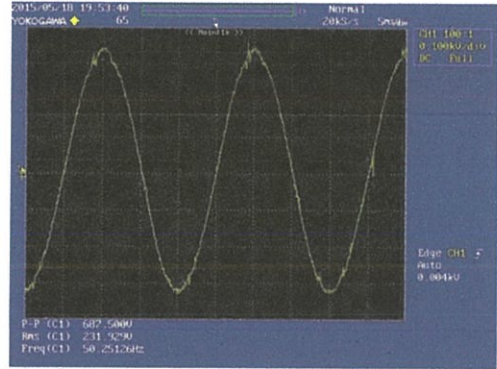
รูปที่ 5 แสดงตำแหน่งการวัดค่าจากชุดไมโครอินเวอร์เตอร์



รูปที่ 6 สัญญาณขาสวิตช์ Q1-Q4



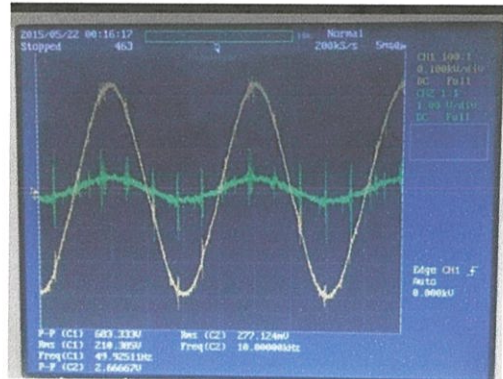
รูปที่ 7 แรงดันที่ขั้วหม้อแปลง Vs1, Vs2



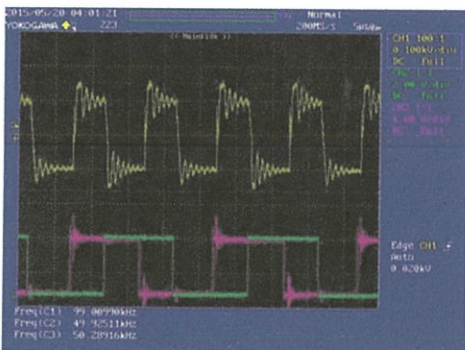
รูปที่ 11 แรงดันเอาต์พุต Vo จากชุดไมโครอินเวอร์เตอร์



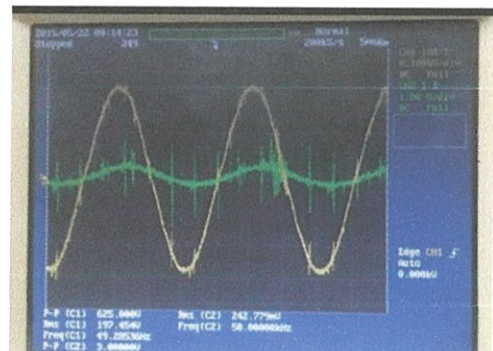
รูปที่ 8 แรงดันจุด A เปรียบเทียบกับสัญญาณสวิตช์ Q2, Q3 ช่วงการสวิตช์โดยที่ Duty มีค่าประมาณ 1



รูปที่ 12 แรงดันและกระแสเอาต์พุต ขณะจ่ายโหลด R



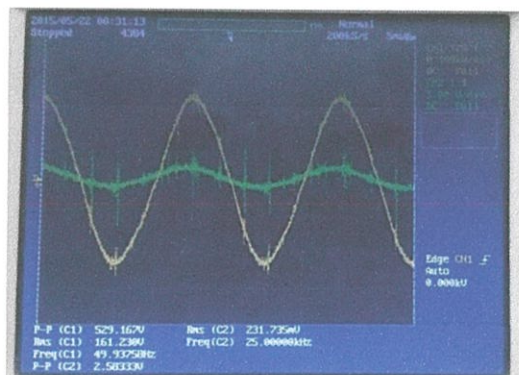
รูปที่ 9 แรงดันจุด A เปรียบเทียบกับสัญญาณสวิตช์ Q2, Q3 ช่วงการสวิตช์โดยที่ Duty มีค่าประมาณ 0.5



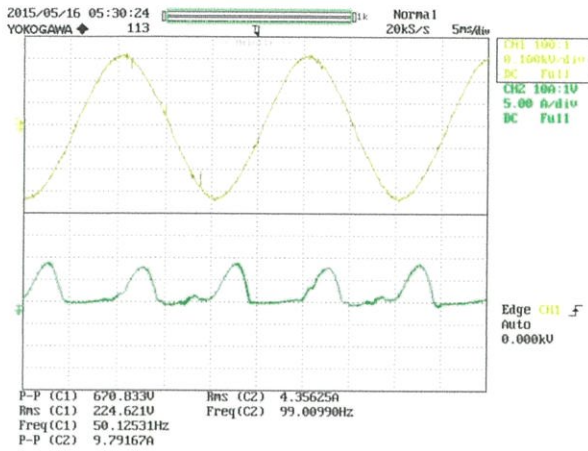
รูปที่ 13 แรงดันและกระแสเอาต์พุต ขณะจ่ายโหลด RL



รูปที่ 10 แรงดันจุด A เปรียบเทียบกับสัญญาณสวิตช์ Q2, Q3 ช่วงการสวิตช์โดยที่ Duty มีค่าประมาณ 0



รูปที่ 14 แรงดันและกระแสเอาต์พุต ขณะจ่ายโหลด RC



รูปที่ 15 แรงดันเข้าพุทและกระแสอินพุทขณะจ่ายโหลด R (100วัตต์)

ทดลองจ่ายโหลดตัวต้านทาน 100 วัตต์ พบว่ากระแสอินพุท dc ที่จ่ายที่จ่าย ขณะแรงดัน DC อินพุท 40 โวลต์ มีค่าเท่ากับ 4.3 A ซึ่งคิดค่า Power ได้ = $40 \times 4.3 = 172$ วัตต์ คิดประสิทธิภาพของชุดไมโครอินเวอร์เตอร์ = $\frac{100}{172} \times 100\% = 58.14\%$

5. สรุปผลการทดลอง

บทความนี้นำเสนอแนวคิดการออกแบบไมโครอินเวอร์เตอร์โดยใช้เทคนิค Phase-Controlled DC-AC Converter with High-Frequency Switching ซึ่งผลการทดลองพบว่าชุดไมโครอินเวอร์เตอร์สามารถจ่ายโหลดได้จริงทั้งโหลด R, RL และโหลด RCตามที่ออกแบบไว้ อีกทั้งยังสามารถนำไปพัฒนาต่อยอดให้มีประสิทธิภาพที่ดีขึ้นและให้สามารถเชื่อมต่อเข้ากับระบบไฟฟ้าได้

6. กิตติกรรมประกาศ

ปริญญานิพนธ์ฉบับนี้สำเร็จลุล่วงไปได้ด้วยดีผู้จัดทำต้องขอขอบพระคุณ ดร.สมภพ ผลไม้ อาจารย์ที่ปรึกษาเป็นอย่างสูงที่ได้ให้คำปรึกษาและคำแนะนำทั้งทางทฤษฎีและทางปฏิบัติตลอดจนท่านอาจารย์ทุกท่านในสาขาวิชาวิศวกรรมไฟฟ้าที่ประสิทธิ์ประสาทวิชาความรู้ต่างๆให้กับผู้จัดทำโครงการ

ขอขอบคุณศูนย์นวัตกรรมระบบพลังงานที่ให้ความอนุเคราะห์เครื่องมือในการทำโครงการครั้งนี้

เอกสารอ้างอิง

- [1] Koosuke Harada, Hiroshi Sakamoto, and Masahito Shoyama, "Phase-Controlled DC-AC Converter with High-Frequency Switching," *IEEE Transactions on Power Electronics*. Vol. 3. No. 4. Oct 1988.
- [2] ภาณุพงศ์ ตริยูท และคนอื่นๆ. "ไมโครอินเวอร์เตอร์สำหรับระบบผลิตพลังงานไฟฟ้าด้วยแสงอาทิตย์," **ปริญญานิพนธ์วิศวกรรมศาสตรบัณฑิต**, สาขาวิชาวิศวกรรมไฟฟ้า, สถาบันเทคโนโลยีพระจอมเกล้าเจ้าคุณทหารลาดกระบัง, 2553
- [3] รศ.ดร.วิระเชษฐ์ ชันเงิน, วุฒิพล ชารวีธรรมเศรษฐ์, **อิเล็กทรอนิกส์กำลัง (Power Electronic)**, สถาบันเทคโนโลยีพระจอมเกล้าเจ้าคุณทหารลาดกระบัง, 2550.
- [4] ปัญญา สุमितสุวรรณค์, "ไมโครอินเวอร์เตอร์สำหรับการผลิตพลังงานไฟฟ้าด้วยเซลล์แสงอาทิตย์ชนิดเชื่อมต่อบนระบบไฟฟ้า," **วิทยานิพนธ์ วิศวกรรมศาสตรบัณฑิต**, สาขาวิศวกรรมไฟฟ้า, สถาบันเทคโนโลยีพระจอมเกล้าเจ้าคุณทหารลาดกระบัง, 2554.
- [5] ไพศักดิ์ พูลผกา, "เทคนิคการมอดูเลตเชิงความกว้างพัลส์ไฟฟ้าแบบไร้หม้อแปลง," **วิทยานิพนธ์ วิศวกรรมศาสตรบัณฑิต**, สาขาวิศวกรรมไฟฟ้า, สถาบันเทคโนโลยีพระจอมเกล้าเจ้าคุณทหารลาดกระบัง, 2553.

ประวัติผู้เขียน



นายคุณนิธิ พงษ์ทองหล่อ
ที่อยู่ 174 ม.1 ต.ลำภี อ.ท้ายเหมือง
จ.พังงา โทรศัพท์ 0857896613
Email : kunniti_p@outlook.co.th



นายวัชรินทร์ ช่างพะเนา
ที่อยู่ 41 ม.10 ต.โคกขมิ้น อ.วังสะพุง จ.เลย
42130 โทรศัพท์ 08571094422
Email : horizon.kmitl@gmail.com

ภาคผนวก ข
โปรแกรมควบคุมตัวประมวลสัญญาณดิจิทัล

```

#include "DSP28x_Project.h" // Device Headerfile and Examples Include File
#include "math.h"

#define cr_1 750
#define EN0_on GpioDataRegs.GPASET.bit.GPIO15
#define EN0_off GpioDataRegs.GPACLEAR.bit.GPIO15
#define EN1_on GpioDataRegs.GPASET.bit.GPIO24
#define EN1_off GpioDataRegs.GPACLEAR.bit.GPIO24
#define EN2_on GpioDataRegs.GPASET.bit.GPIO26
#define EN2_off GpioDataRegs.GPACLEAR.bit.GPIO26

#define EN_on GpioDataRegs.GPASET.bit.GPIO12
#define EN_off GpioDataRegs.GPACLEAR.bit.GPIO12

#define sw GpioDataRegs.GPBDAT.bit.GPIO34
// Prototype statements for functions found within this file.
void spi_fifo_init(void);
void spi_init(void);
interrupt void adc_isr(void);
interrupt void cpu_timer2_isr(void);
void scia_echoback_init(void);
void scia_fifo_init(void);

// Global variables used in this example:
Uint16 rdata;
Uint16 n=0;
Uint16 D_out0=0,D_out1=0,D_out2=0;
Uint16 A0=0,A1=0,A2=0,A3=0,B0=0,B1=0,B2=0,B3=0,B4=0,B5=0;
Uint16 vsinA=0,vsinB=0,vsinC=0;
Uint16 vmA=0,vmB=0,vmC=0;
int m=0;
float V2_A=0,Q1_A=0,Q1_1_A=0;
float Offset_Vs_A=0,Offset_Vs_B=0,Offset_Vs_C=0;
float Offset_is_A=0,Offset_is_B=0,Offset_is_C=0;
float Offset_iL_A=0,Offset_iL_B=0,Offset_iL_C=0;
float va=0,vb=0,vc=0,vdc_bus=0,isa=0,isb=0,isc=0,iLa=0,iLb=0,iLc=0;
float vds=0,vqs=0,vd=0,vq=0;

```

```

float theta=0,theta_1=0;
float Er_P=0,Er=0,Er_l=0,Er_l_old=0,Omega1=0,Omega2=0;
float theta5=0,theta_a=0,theta_b=0,theta_c=0;
float isds=0,isqs=0,iLds=0,iLqs=0;
float isd=0,isq=0,iLd=0,iLq=0;
float Q1_isd=0,Q2_isd=0,isd_2=0;
float Q1_isq=0,Q2_isq=0,isq_2=0;
float Q1_iLd=0,Q2_iLd=0,iLd_5=0;
float Q1_iLq=0,Q2_iLq=0,iLq_5=0;
float vd5_star=0,vq5_star=0;
float isds2=0,isqs2=0;
float vd_star=80; //<-----vdc Bus cmd
float k=54;
float g=1;
float isha=0,ishb=0,ishc=0,vaFfb=0,vbFfb=0,vcFfb=0;
float vd5s_star=0,vq5s_star=0,vaFff=0,vbFff=0,vcFff=0;
float vAFa_star=0,vAFb_star=0,vAFc_star=0;
float er_vd=0,erp=0,eri=0,delta_iq_star=0;
float kp=0.05,ki=0.000005;
Uint16 count=0;
Uint16 data[3];
//float a=0,b=0,v=0;
float v_d=0; //pu of dc bus

void main(void)
{
    er_vd=0,erp=0,eri=0,delta_iq_star=0;
    v_d=1/vd_star;
    // Step 1. Initialize System Control:
    // PLL, WatchDog, enable Peripheral Clocks
    // This example function is found in the DSP2833x_SysCtrl.c file.0
    InitSysCtrl();
    InitSciaGpio();

    //    Initial GPIO    //

    EALLOW;

```

```
GpioCtrlRegs.GPAMUX1.bit.GPIO12 = 0; // PIN 10 is GPIO
GpioCtrlRegs.GPADIR.bit.GPIO12 = 1; //GPIO 10 is output
```

```
GpioCtrlRegs.GPAMUX1.bit.GPIO15 = 0; // PIN 15 is GPIO
GpioCtrlRegs.GPADIR.bit.GPIO15 = 1; //GPIO 15 is output
```

```
GpioCtrlRegs.GPAMUX2.bit.GPIO24 = 0; // PIN 24 is GPIO
GpioCtrlRegs.GPADIR.bit.GPIO24 = 1; //GPIO 24 is output
```

```
GpioCtrlRegs.GPAMUX2.bit.GPIO26 = 0; // PIN 26 is GPIO
GpioCtrlRegs.GPADIR.bit.GPIO26 = 1; //GPIO 26 is output
```

```
GpioCtrlRegs.GPAPUD.bit.GPIO0 = 0; // Enable pullup on GPIO0
GpioCtrlRegs.GPAPUD.bit.GPIO1 = 0; // Enable pullup on GPIO1
GpioCtrlRegs.GPAPUD.bit.GPIO2 = 0; // Enable pullup on GPIO2
GpioCtrlRegs.GPAPUD.bit.GPIO3 = 0; // Enable pullup on GPIO3
GpioCtrlRegs.GPAPUD.bit.GPIO4 = 0; // Enable pullup on GPIO4
GpioCtrlRegs.GPAPUD.bit.GPIO5 = 0; // Enable pullup on GPIO5
GpioCtrlRegs.GPAPUD.bit.GPIO6 = 0; // Enable pullup on GPIO6
GpioCtrlRegs.GPAPUD.bit.GPIO7 = 0; // Enable pullup on GPIO7
GpioCtrlRegs.GPAPUD.bit.GPIO8 = 0; // Enable pullup on GPIO8
GpioCtrlRegs.GPAPUD.bit.GPIO9 = 0; // Enable pullup on GPIO9
GpioCtrlRegs.GPAPUD.bit.GPIO10 = 0; // Enable pullup on GPIO10
GpioCtrlRegs.GPAPUD.bit.GPIO11 = 0; // Enable pullup on GPIO11
```

```
GpioCtrlRegs.GPAMUX1.bit.GPIO0 = 1; // GPIO0 = PWM1A
GpioCtrlRegs.GPAMUX1.bit.GPIO1 = 1; // GPIO1 = PWM1B
GpioCtrlRegs.GPAMUX1.bit.GPIO2 = 1; // GPIO2 = PWM2A
GpioCtrlRegs.GPAMUX1.bit.GPIO3 = 1; // GPIO3 = PWM2B
GpioCtrlRegs.GPAMUX1.bit.GPIO4 = 1; // GPIO4 = PWM3A
GpioCtrlRegs.GPAMUX1.bit.GPIO5 = 1; // GPIO5 = PWM3B
GpioCtrlRegs.GPAMUX1.bit.GPIO6 = 1; // GPIO0 = PWM4A
GpioCtrlRegs.GPAMUX1.bit.GPIO7 = 1; // GPIO1 = PWM4B
GpioCtrlRegs.GPAMUX1.bit.GPIO8 = 1; // GPIO2 = PWM5A
GpioCtrlRegs.GPAMUX1.bit.GPIO9 = 1; // GPIO3 = PWM5B
GpioCtrlRegs.GPAMUX1.bit.GPIO10 = 1; // GPIO4 = PWM6A
GpioCtrlRegs.GPAMUX1.bit.GPIO11 = 1; // GPIO5 = PWM6B
```

```

    GpioCtrlRegs.GPBPUD.bit.GPIO34 = 0; // Enable pullup on GPIO34
    GpioCtrlRegs.GPBMUX1.bit.GPIO34 = 0; // GPIO34 = GPIO34
    GpioCtrlRegs.GPBDIR.bit.GPIO34 = 0; // GPIO34 = input

    EDIS;

    EALLOW;

    #if (CPU_FRQ_150MHZ) // Default - 150 MHz SYSCLKOUT
    #define ADC_MODCLK 0x3 // HSPCLK = SYSCLKOUT/2*ADC_MODCLK2 = 150/(2*3) =
    25.0 MHz
    #endif
    #if (CPU_FRQ_100MHZ)
    #define ADC_MODCLK 0x2 // HSPCLK = SYSCLKOUT/2*ADC_MODCLK2 = 100/(2*2) =
    25.0 MHz
    #endif

    // Specific clock setting for this example:

    // Define ADCCLK clock frequency ( less than or equal to 25 MHz )
    // Assuming InitSysCtrl() has set SYSCLKOUT to 150 MHz
    SysCtrlRegs.HISPCP.all = ADC_MODCLK; // HSPCLK =
SYSCLKOUT/ADC_MODCLK
    EDIS;
    // Step 2. Initialize GPIO:
    InitSpiaGpio();
    DINT;
    InitPieCtrl();
    // Disable CPU interrupts and clear all CPU interrupt flags:
    IER = 0x0000;
    IFR = 0x0000;
    InitPieVectTable();

    // Interrupts that are used in this example are re-mapped to
    // ISR functions found within this file.
    EALLOW; // This is needed to write to EALLOW protected register
    PieVectTable.ADCINT = &adc_isr;
    PieVectTable.TINT2 = &cpu_timer2_isr;
    EDIS; // This is needed to disable write to EALLOW protected registers

```

```

InitCpuTimers();
ConfigCpuTimer(&CpuTimer2, 150, 100);
CpuTimer2Regs.TCR.all = 0x4001; // Use write-only instruction to set TSS bit =
0

//SPI initial
spi_fifo_init(); // Initialize the Spi FIFO
spi_init();      // init SPI

InitAdc(); // init the ADC

// Step 5. User specific code, enable interrupts:

// Enable ADCINT in PIE
PieCtrlRegs.PIEIER1.bit.INTx6 = 1;
IER |= M_INT1; // Enable CPU Interrupt 1
IER |= M_INT14;
EINT; // Enable Global interrupt INTM
ERTM; // Enable Global realtime interrupt DBGM

// Configure ADC
AdcRegs.ADCTRL3.bit.ADCCLKPS = 0x0;
AdcRegs.ADCTRL1.bit.CPS = 0x1;
AdcRegs.ADCTRL1.bit.ACQ_PS = 0x0;
//just make sure ADCCLK = 12.5MHz(not MAX) and ACQ_PS = 0
//for 12.5 MSPS or 80 ns per sample

AdcRegs.ADCTRL3.bit.SMODE_SEL = 0x1; // Setup simultaneous sampling
mode
AdcRegs.ADCTRL1.bit.SEQ_CASC = 0x1; // Setup cascaded sequencer mode
AdcRegs.ADCMAXCONV.all = 0x0007; // Setup 16 conv's on SEQ1
AdcRegs.ADCCHSELSEQ1.bit.CONV00 = 0x0; // Setup ADCINA0 as 1st SEQ1
conv. Voltage sensor A
AdcRegs.ADCCHSELSEQ1.bit.CONV01 = 0x1; // Setup ADCINA1 as 1st SEQ1
conv. Voltage sensor B
AdcRegs.ADCCHSELSEQ1.bit.CONV02 = 0x2; // Setup ADCINA2 as 1st SEQ1
conv. Voltage sensor C

```

```

        AdcRegs.ADCCHSELSEQ1.bit.CONV03 = 0x3; // Setup ADCINA3 as 1st SEQ1
conv. Current sensor A
        AdcRegs.ADCCHSELSEQ2.bit.CONV04 = 0x4; // Setup ADCINA4 as 2nd SEQ1
conv. Current sensor B
        AdcRegs.ADCCHSELSEQ2.bit.CONV05 = 0x5; // Setup ADCINA5 as 2nd SEQ1
conv. Current sensor C
        AdcRegs.ADCTRL1.bit.CONT_RUN = 0; // stop after reaching End of Sequence
        //AdcRegs.ADCTRL2.bit.EPWM_SOC_A_SEQ1 = 1; // Enable SOCA from ePWM to
start SEQ1
        AdcRegs.ADCTRL2.bit.INT_ENA_SEQ1 = 1; // Enable SEQ1 interrupt (every
EOS))( end-of-sequence)

//=====
=====
// Configuration epwm
//=====
=====
// Initialization Time
//=====//
// EPWM Module 1 config
EPwm1Regs.TBPRD = cr_1; //
EPwm1Regs.TBPHS.half.TBPHS = 0; // Set Phase register to zero
EPwm1Regs.TBCTL.bit.CTRMODE = TB_COUNT_UP; // Symmetrical mode
EPwm1Regs.TBCTL.bit.PHSEN = TB_DISABLE; // Master module
EPwm1Regs.TBCTL.bit.PRDLN = TB_SHADOW;
EPwm1Regs.TBCTL.bit.SYNCSEL = TB_CTR_ZERO; // Sync down-stream
module
EPwm1Regs.CMPCTL.bit.SHDWAMODE = CC_SHADOW;
EPwm1Regs.CMPCTL.bit.SHDWBMODE = CC_SHADOW;
EPwm1Regs.CMPCTL.bit.LOADAMODE = CC_CTR_ZERO; // load on CTR=Zero
EPwm1Regs.CMPCTL.bit.LOADBMODE = CC_CTR_ZERO; // load on CTR=Zero
EPwm1Regs.AQCTLA.bit.PRDLN = AQ_TOGGLE; // set actions for EPWM1A
EPwm1Regs.DBCTL.bit.OUT_MODE = DB_FULL_ENABLE; // enable Dead-band
module
EPwm1Regs.DBCTL.bit.POLSEL = DB_ACTV_HIC; // Active Hi complementary
EPwm1Regs.DBFED = 375; // FED = 20 TBCLKs
EPwm1Regs.DBRED = 375; // RED = 20 TBCLKs

```

```

// EPWM Module 2 config
EPwm2Regs.TBPRD = cr_1; //
EPwm2Regs.TBPHS.half.TBPHS = 0; // Set Phase register to zero
EPwm2Regs.TBCTL.bit.CTRMODE = TB_COUNT_UP; // Symmetrical mode
EPwm2Regs.TBCTL.bit.PHSEN = TB_ENABLE; // Slave module
EPwm2Regs.TBCTL.bit.PRDL = TB_SHADOW;
EPwm2Regs.TBCTL.bit.SYNCSEL = TB_SYNC_IN; // sync flow-through
EPwm2Regs.CMPCTL.bit.SHDWAMODE = CC_SHADOW;
EPwm2Regs.CMPCTL.bit.SHDWBMODE = CC_SHADOW;
EPwm2Regs.CMPCTL.bit.LOADAMODE = CC_CTR_ZERO; // load on CTR=Zero
EPwm2Regs.CMPCTL.bit.LOADBMODE = CC_CTR_ZERO; // load on CTR=Zero
EPwm2Regs.AQCTLA.bit.CAU = AQ_TOGGLE; // set actions for EPWM2A
EPwm2Regs.DBCTL.bit.OUT_MODE = DB_FULL_ENABLE; // enable Dead-band
module
EPwm2Regs.DBCTL.bit.POLSEL = DB_ACTV_HIC; // Active Hi Complementary
EPwm2Regs.DBFED = 375; // FED = 20 TBCLKs
EPwm2Regs.DBRED = 375; // RED = 20 TBCLKs
// EPWM Module 3 config
EPwm3Regs.TBPRD = cr_1; //
EPwm3Regs.TBPHS.half.TBPHS = 0; // Set Phase register to zero
EPwm3Regs.TBCTL.bit.CTRMODE = TB_COUNT_UP; // Symmetrical mode
EPwm3Regs.TBCTL.bit.PHSEN = TB_ENABLE; // Slave module
EPwm3Regs.TBCTL.bit.PRDL = TB_SHADOW;
EPwm3Regs.TBCTL.bit.SYNCSEL = TB_SYNC_IN; // sync flow-through
EPwm3Regs.CMPCTL.bit.SHDWAMODE = CC_SHADOW;
EPwm3Regs.CMPCTL.bit.SHDWBMODE = CC_SHADOW;
EPwm3Regs.CMPCTL.bit.LOADAMODE = CC_CTR_ZERO; // load on CTR=Zero
EPwm3Regs.CMPCTL.bit.LOADBMODE = CC_CTR_ZERO; // load on CTR=Zero
EPwm3Regs.AQCTLA.bit.CAU = AQ_SET; // set actions for EPWM3Ai
EPwm3Regs.AQCTLA.bit.PRDL = AQ_CLEAR;
EPwm3Regs.DBCTL.bit.OUT_MODE = DB_FULL_ENABLE; // enable Dead-band
module
EPwm3Regs.DBCTL.bit.POLSEL = DB_ACTV_HIC; // Active Hi complementary
EPwm3Regs.DBFED = 0; // FED = 20 TBCLKs
EPwm3Regs.DBRED = 0; // RED = 20 TBCLKs

scia_fifo_init(); // Initialize the SCI FIFO

```

```

        scia_echoback_init(); // Initalize SCI for echoback

    }

    interrupt void cpu_timer2_isr(void)
    {
        EALLOW;
        CpuTimer2.InterruptCount++;
        //EN_on=1;
        //DELAY_US(10);
        //EN_off=1;
        AdcRegs.ADCTRL2.bit.SOC_SEQ1=1;
        // The CPU acknowledges the interrupt.
        EDIS;
    }

    interrupt void adc_isr(void)
    {
        EN_on=1;
        //V-source
        A0 = AdcRegs.ADCRESULT0>>4;
        A1 = AdcRegs.ADCRESULT2>>4;
        A2 = AdcRegs.ADCRESULT4>>4;
        //v-dc-bus
        A3 = AdcRegs.ADCRESULT6>>4;
        //i-Source
        B0 = AdcRegs.ADCRESULT1>>4;
        B1 = AdcRegs.ADCRESULT3>>4;
        B2 = AdcRegs.ADCRESULT5>>4;
        //i-LOAD
        B3 = AdcRegs.ADCRESULT7>>4;
        B4 = AdcRegs.ADCRESULT9>>4;
        B5 = AdcRegs.ADCRESULT11>>4;
        if(n<200)
        {
            //vs
            Offset_Vs_A = Offset_Vs_A+ (A0*7.326e-4);
        }
    }

```

```

//is
Offset_is_A = Offset_is_A+(B0*7.326e-4);

//iL
Offset_iL_A = Offset_iL_A+(B3*7.326e-4);

n++;

}else if(n==200)
{
    Offset_Vs_A = Offset_Vs_A*0.005;    //1/200

    //is
    Offset_is_A = Offset_is_A*0.005;

    //iL
    Offset_iL_A = Offset_iL_A*0.005;

    n++;
}else if(n>200)
{
    va = 226.27417*((A0*7.326e-4) -
Offset_Vs_A);//226.27417*1.02794*((Volt0*7.326e-4) - Offset_A);
//226.27417=sqrt(2)*240/1.5

    vdc_bus=200*(A3*7.326e-4);

    isa=10*((B0*7.326e-4) -Offset_is_A );

    iLa=10*((B3*7.326e-4) -Offset_iL_A );

//PLL
    //if(data_rec[12]==1)        //enable phase A
    //{

```

```

Q1_A = va + (0.9761*Q1_1_A); //make phase shift
V2_A = (0.9761*Q1_A) - Q1_1_A;
Q1_1_A = Q1_A;
Er = va*cos(theta_1) - V2_A*sin(theta_1); // er = vq
//PI
Er_P = Er*1e-4; //kp
Er_I = Er_I_old + (Er*5e-4); //ki
Er_I_old = Er_I;
Omega1 = 0 ;//Er_P + Er_I;
Omega2 = Omega1+ 0.0314159;
theta = theta_1 + Omega2;
if(theta>=6.283185308)
{
    theta = theta - 6.283185308;
}
theta_1 = theta;
//End PLL phase A

// //PLL//////////////////////////////////////
// //PI
// Er_P = Er *0.001; //kp
// Er_I = Er_I_old + (Er*0.0005); //ki
// Er_I_old = Er_I;
// Omega1 = Er_P + Er_I;
// Omega2 = Omega1+ 0.0314159;
// theta = theta_1 + Omega2;
// if(theta>=6.283185308)
// {
//     theta = theta - 6.283185308;
// }
// theta_1 = theta;
// //=====

vmA=(0.7*cr_1*0.5*sin(theta))+(0.5*cr_1);

EPwm2Regs.CMPA.half.CMPA =vmA; // adjust duty for output EPWM2A
//EPwm2Regs.CMPB=vmA;

```

```

EPwm3Regs.CMPA.half.CMPA =vmA; // adjust duty for output EPWM3A
EPwm3Regs.CMPB=vmA;

    EN_off=1;
}

// RELAY_Coff=1;
// End interupt /////

    AdcRegs.ADCST.bit.INT_SEQ1_CLR = 1;    // Clear INT SEQ1 bit
    AdcRegs.ADCST.bit.INT_SEQ2_CLR = 1;    // Clear INT SEQ1 bit
    PieCtrlRegs.PIEACK.all = PIEACK_GROUP1; // Acknowledge interrupt to PIE
}

void receive_array(int byte[],int size)
{
    int j=0;

    for(j=0;j<size;j++)
    {
        // Wait for inc character
        while(SciaRegs.SCIFFRX.bit.RXFFST !=1) { } // wait for XRDY =1
for empty state

        // Get character
        byte[j]= SciaRegs.SCIRXBUF.all;

    }
}

```

```

// Test 1,SCIA DLB, 8-bit word, baud rate 0x000F, default, 1 STOP bit, no parity
void scia_echoback_init()
{
    // Note: Clocks were turned on to the SCIA peripheral
    // in the InitSysCtrl() function

    SciaRegs.SCICCR.all =0x0007; // 1 stop bit, No loopback
    // No parity,8 char bits,
    // async mode, idle-line protocol
    SciaRegs.SCICTL1.all =0x0003; // enable TX, RX, internal SCICLK,
    // Disable RX ERR, SLEEP, TXWAKE
    SciaRegs.SCICTL2.all =0x0003;
    SciaRegs.SCICTL2.bit.TXINTENA =1;
    SciaRegs.SCICTL2.bit.RXBKINTENA =1;
    // Baud rate = LSPCLK/(SPIBRR+1)
#if (CPU_FRQ_150MHZ)
    // 01 E7 hex = 487 dec for 9600
    // 00 1D hex = 29 dec for 156250
    SciaRegs.SCIHBAUD =0x0000; // 937500 baud @LSPCLK = 37.5MHz.
    SciaRegs.SCILBAUD =0x0004;
#endif
#if (CPU_FRQ_100MHZ)
    // 01 44 hex = 324 dec for 9600
    SciaRegs.SCIHBAUD =0x0001; // 9600 baud @LSPCLK = 20MHz.
    SciaRegs.SCILBAUD =0x0044;
#endif
    SciaRegs.SCICTL1.all =0x0023; // Relinquish SCI from Reset
}

// Transmit a character from the SCI

// Initalize the SCI FIFO
void scia_fifo_init()
{

```

```

        SciaRegs.SCIFFTX.all=0xE040;
        SciaRegs.SCIFFRX.all=0x204f;
        SciaRegs.SCIFFCT.all=0x0;
    }

void spi_init()
{
    SpiaRegs.SPICCR.all = 0x000F;           // Reset on, rising edge, 16-bit
char bits
    SpiaRegs.SPICTL.all = 0x0006;           // Enable master mode,
normal phase,
    // enable talk, and SPI int disabled.
    SpiaRegs.SPIBRR      =      0x0000;           // if
SPIBRR is 3 to 127, Baud rate = LSPCLK/(SPIBRR+1) **LSPCLK =
37.5MHz//0,1,2//brr=9375000
    SpiaRegs.SPICCR.all = 0x009F;           // Relinquish SPI from
Reset
    SpiaRegs.SPIPRI.bit.FREE = 1;           // Set so breakpoints don't disturb
xmission
}

void spi_fifo_init()
{
    // Initialize SPI FIFO registers
    SpiaRegs.SPIFFTX.all=0xE040;
    SpiaRegs.SPIFFRX.all=0x204f;
    SpiaRegs.SPIFFCT.all=0x0;
}

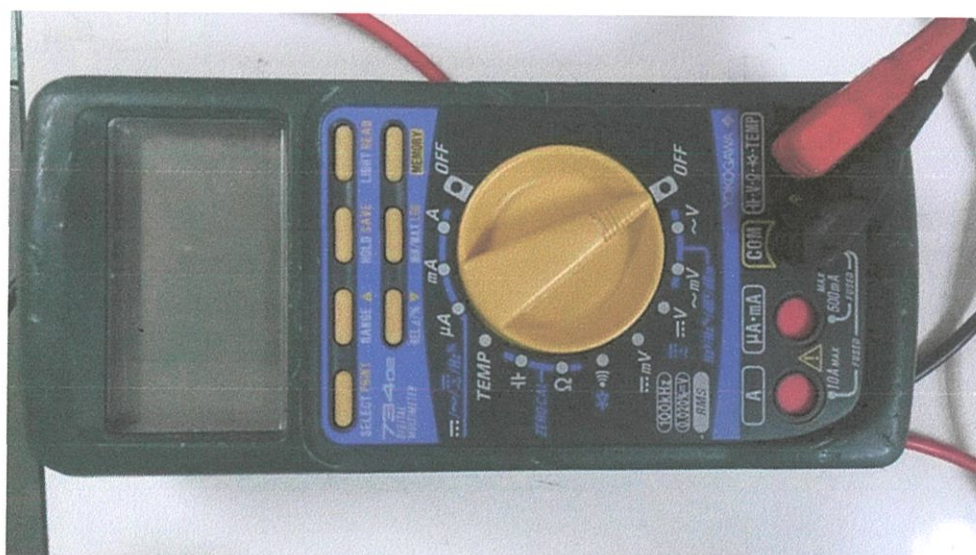
//=====
=====
// End of SourceCode.
//=====
=====

```

ภาคผนวก ค
อุปกรณ์ที่ใช้ในการทำโครงการ



รูปที่ ค.1 ดิจิตอลออสซิโลสโคป YOKOGAWA รุ่น DL1740E



รูปที่ ค.2 Digital mutimeter YOKOGAWA 73402



รูปที่ ค.3 Differential Probe YOKOGAWA รุ่น 700625



รูปที่ ค.4 temperature measurement instruments

ประวัติผู้เขียน



ชื่อ-นามสกุล
วัน เดือน ปีเกิด
ภูมิลำเนา
ประวัติการศึกษา

นายคุณนิธิ พงษ์ทองหล่อ
4 ธันวาคม 2535
จังหวัดพังงา
มัธยมศึกษา โรงเรียนตึกพังงา
วิทยายน
ปริญญาตรี สาขาวิศวกรรมไฟฟ้า คณะ
วิศวกรรมศาสตร์ สถาบันเทคโนโลยี
พระจอมเกล้าเจ้าคุณทหารลาดกระบัง



ชื่อ-นามสกุล
วัน เดือน ปีเกิด
ภูมิลำเนา
ประวัติการศึกษา

นายวัชรินทร์ ช่างพะเนา
1 มกราคม 2535
จังหวัดเลย
มัธยมศึกษา โรงเรียนขอนแก่นวิทยายน
ปริญญาตรี สาขาวิศวกรรมไฟฟ้า คณะ
วิศวกรรมศาสตร์ สถาบันเทคโนโลยี
พระจอมเกล้าเจ้าคุณทหารลาดกระบัง